

III Workshop do Modelo Brasileiro
do Sistema Climático Global -INLAND
Viçosa, MG, 23-25 de fevereiro, 2010

ESTIMATIVA DE EMISSÕES DE QUEIMADAS EM ESCALA GLOBAL

Karla Longo e Judith Hoelzemann



Contribuições:
Saulo R. Freitas, Karla M. Longo,
Judith J. Hoelzemann, Gabriel Pereira,
Ricardo Siqueira, Daniela A. França

ROTEIRO

- Necessidades do MBSCG
- Atual status do módulo de emissões
- Atividades em andamento
- Conexões com os módulos de química e aerossóis
- Particularidades das emissões na escala global

NECESSIDADES PARA O MBSCG

○ Módulo de emissões de queimadas

- Aerossóis e gases
- Global
- Emissões no tempo atual
- Emissões para cenários de previsão climática (~2010-2200)
- Acoplamento aos módulos de química e aerossóis do MBSCG e parametrização de plume-rise

○ Inventários de emissão de outras fontes

- Biogênico
- Industrial / urbano
- Solo
- Oceanos



O QUE TEMOS HOJE

- 3BEM -*Brazilian Biomass Burning Emission Model*
(regional e global)
- *Plume-rise*: distribuição vertical da fumaça
- Cálculo de emissões derivadas da energia radiativa do fogo (regional e global)
- Emissões de queimadas de cana-de-açúcar
- Impacto das emissões de queimadas climáticas de aerossóis associadas com desmatamento na Amazônia
- GWEM - *Global Wildland Fire Emission Model*
-estudos para demais regiões do globo-

3BEM - BRAZILIAN BIOMASS BURNING EMISSION MODEL

Karla M. Longo, Saulo R. Freitas

- Regional (CCATT-BRAMS, WRF-CHEM)
- Global (SIM NOAA, GEOS-5)

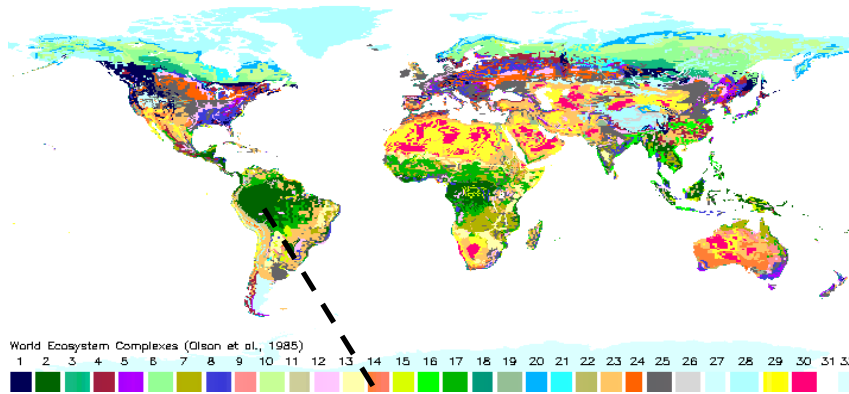
Longo et al., ACPD - 2007

Freitas et al., ACP - 2009

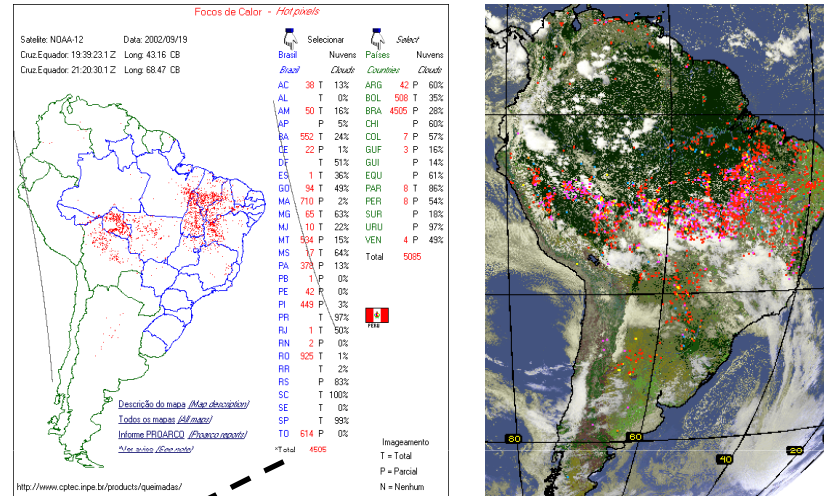


BRAZILIAN BIOMASS BURNING EMISSION MODEL (3BEM)

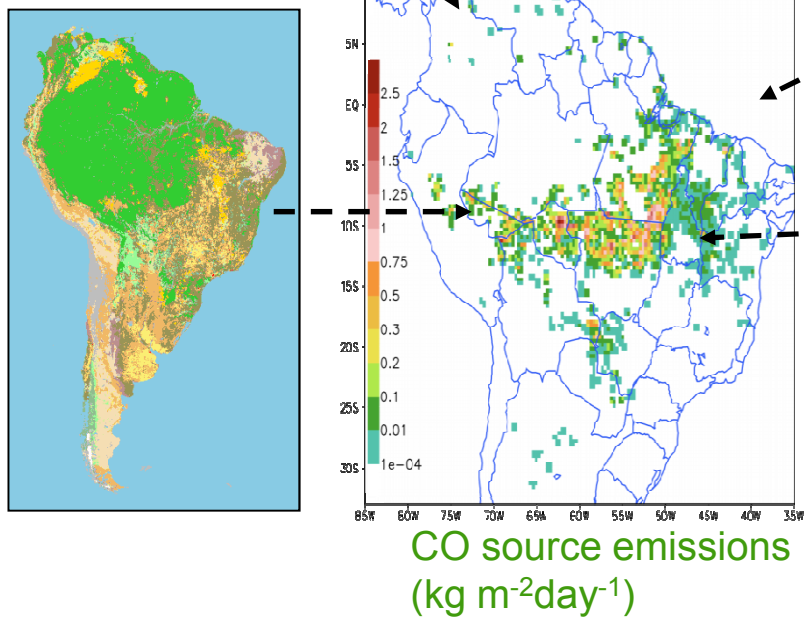
density of carbon data



near real time fire product



land use data



emission & combustion factors

Biome category	Emission Factor for CO (g/kg)	Emission Factor for PM2.5 (g/kg)	Aboveground biomass density (α , kg/m ²)	Combustion factor (β , fraction)
Tropical forest ¹	110.	8.3	20.7	0.48
South America savanna ²	63.	4.4	0.9	0.78
Pasture ³	49.	2.1	0.7	1.00

¹ Average values for primary and second-growth tropical forests, ² Average values for campo cerrado (C3) and cerrado sensu stricto (C4), ³ value for campo limpo (C1). All numbers are from Ward et al.,

mass estimation

$$M[\eta] = \alpha_{veg} \cdot \beta_{veg} \cdot E_f^{[\eta]} \cdot a_{fire},$$

EMISSÕES PARA A AMÉRICA DO SUL

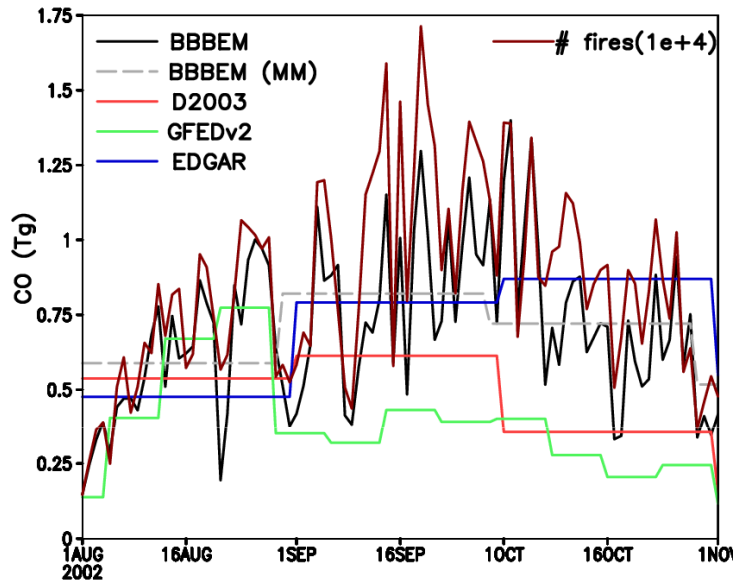


Figure 3 The four biomass burning inventories: time series for the total pyrogenic CO emission estimate from SA (Tg) from 01 August to 01 November 2002 with BBBEM (daily variation, black), EDGAR (monthly variation, blue), D2003 (monthly variation, red), and GFEDv2 (8-day time variation, green). Also the monthly mean of BBBEM (grey) and the number of fire counts are shown.

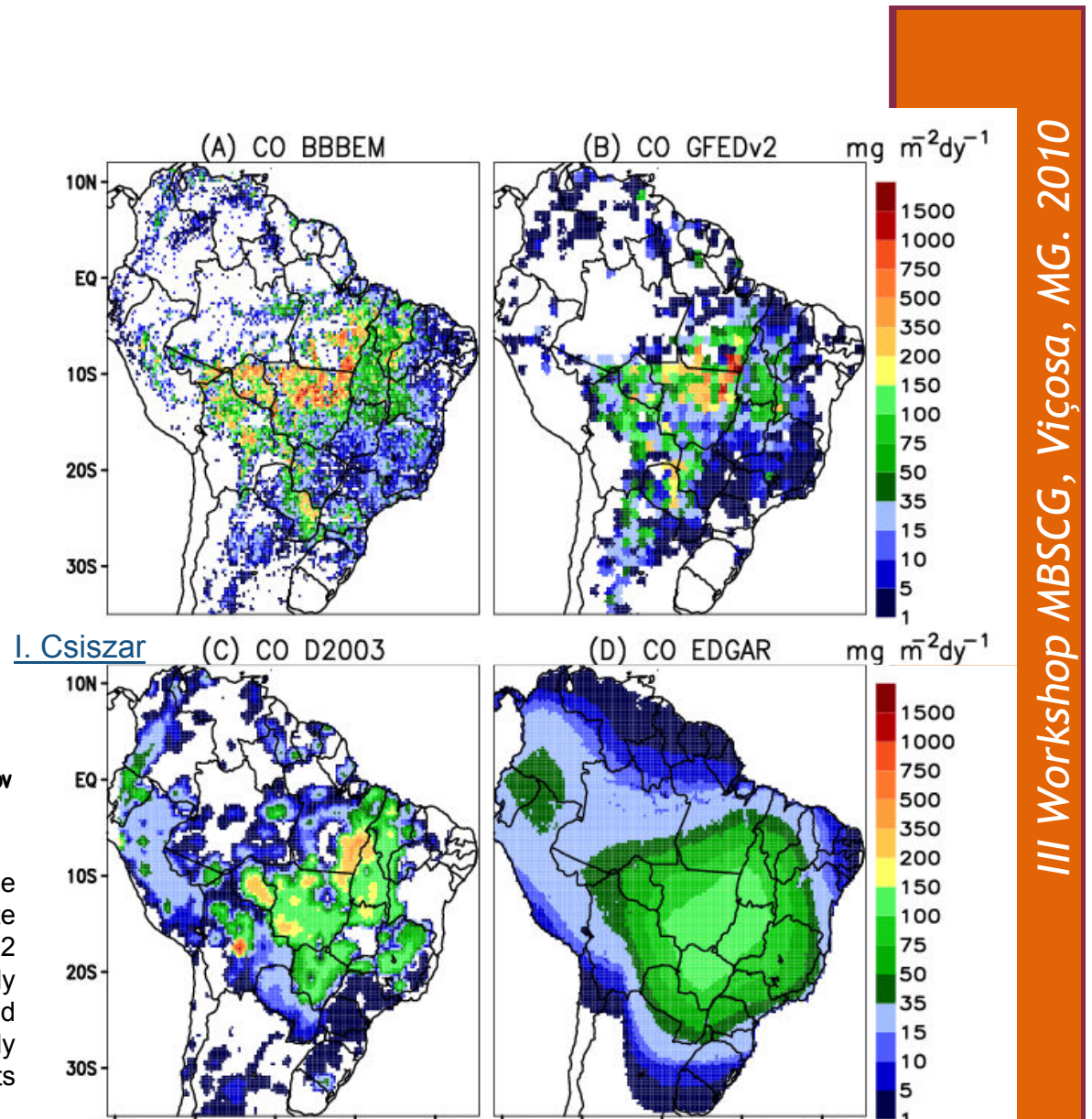
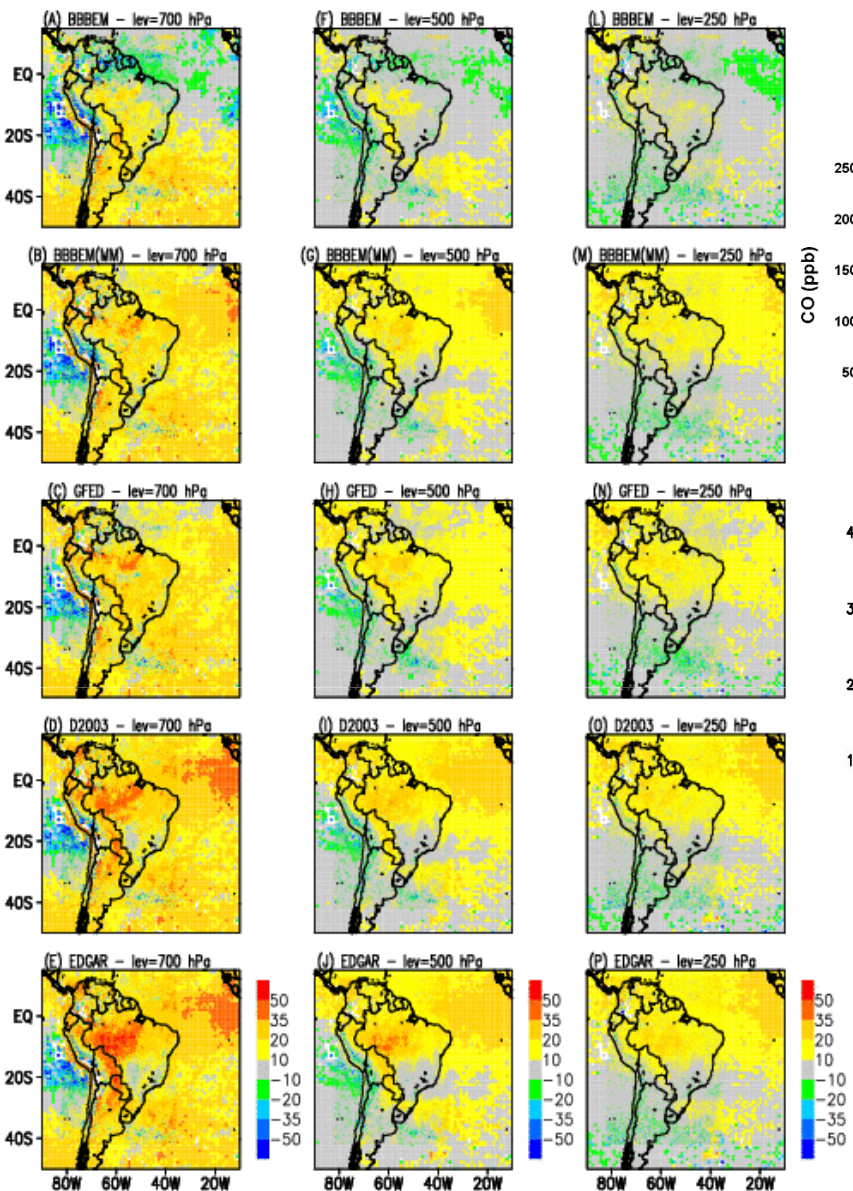
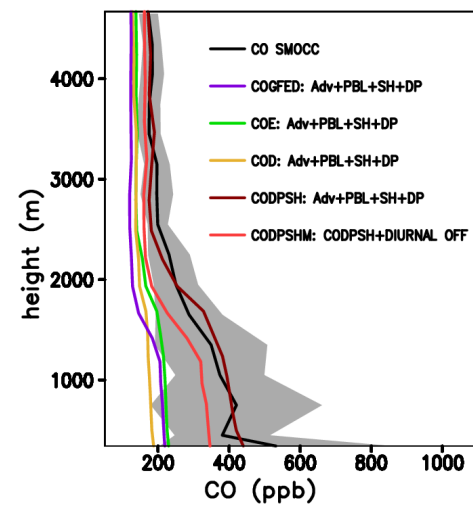
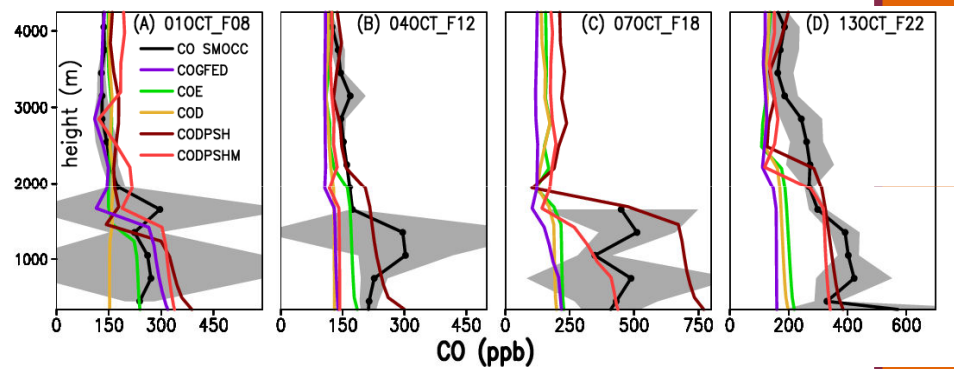
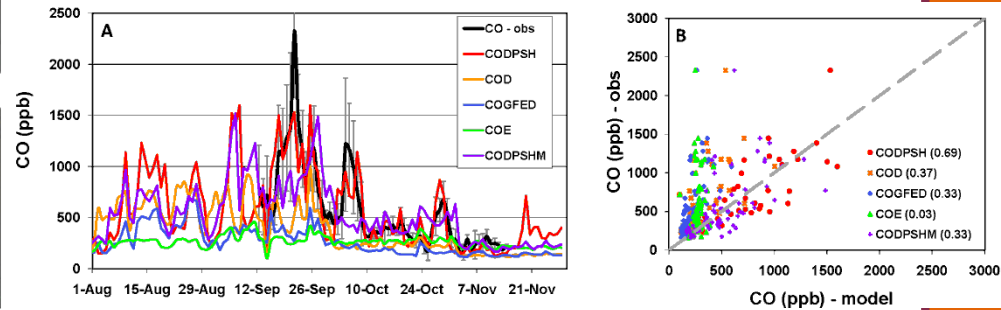


Figure 2 . The four biomass burning inventories showing the spatial distribution of the CO emission estimation obtained as 3 monthly mean (AUG-SEP-OCT) 2002 and in units $\text{mg m}^{-2} \text{dy}^{-1}$: (A) with the technique described in this paper (BBBEM), (B) GFEDv2, (C) D2003 and (D) EDGAR.

VALIDAÇÃO PARA A AMÉRICA DO SUL



CO model relative error (%) associated with the inventories BBBEM (left), EDGAR (center) and D2003 (right) in reference to the MOPITT CO retrieval for August 2002 at 3 vertical levels (700, 500 and 250 hPa). Positive values mean that model results are underestimated in reference to the MOPITT retrieved data and vice-versa.



27 km WRF-CHEM air quality and weather forecast INCLUDING 3BEM FIRE EMISSIONS

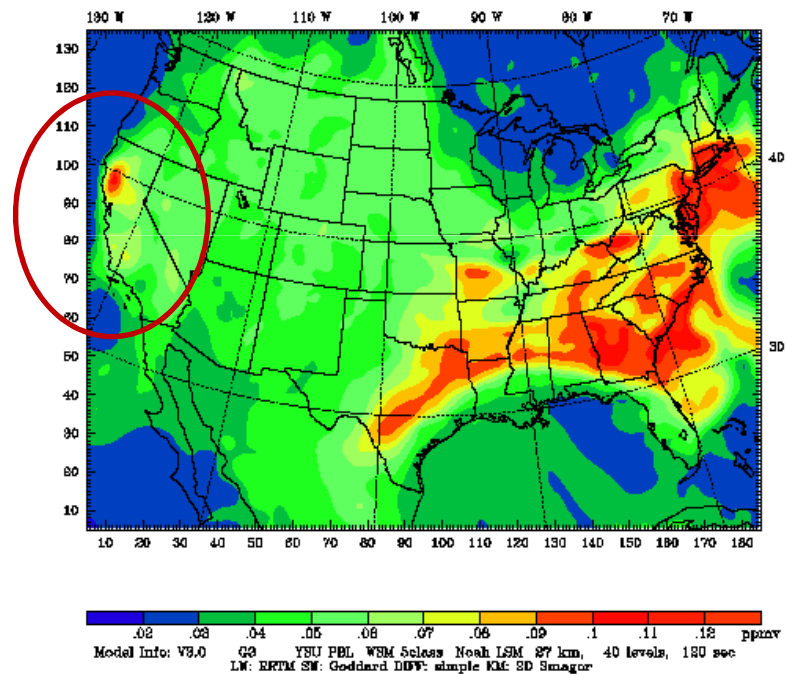
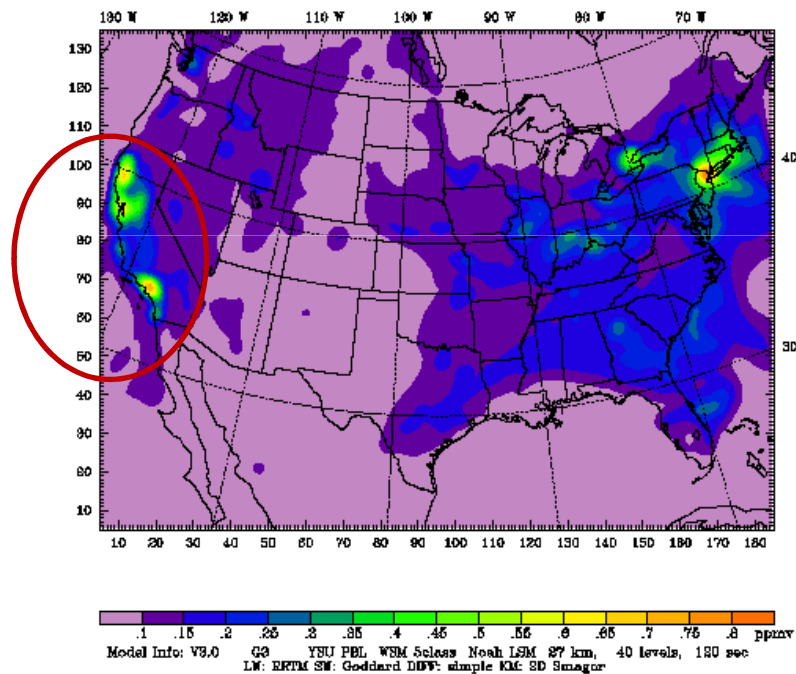
<http://www-frd.fsl.noaa.gov/aq/wrf/>

CO Concentration at level 1
Fest: 18.00 h
CO concentration

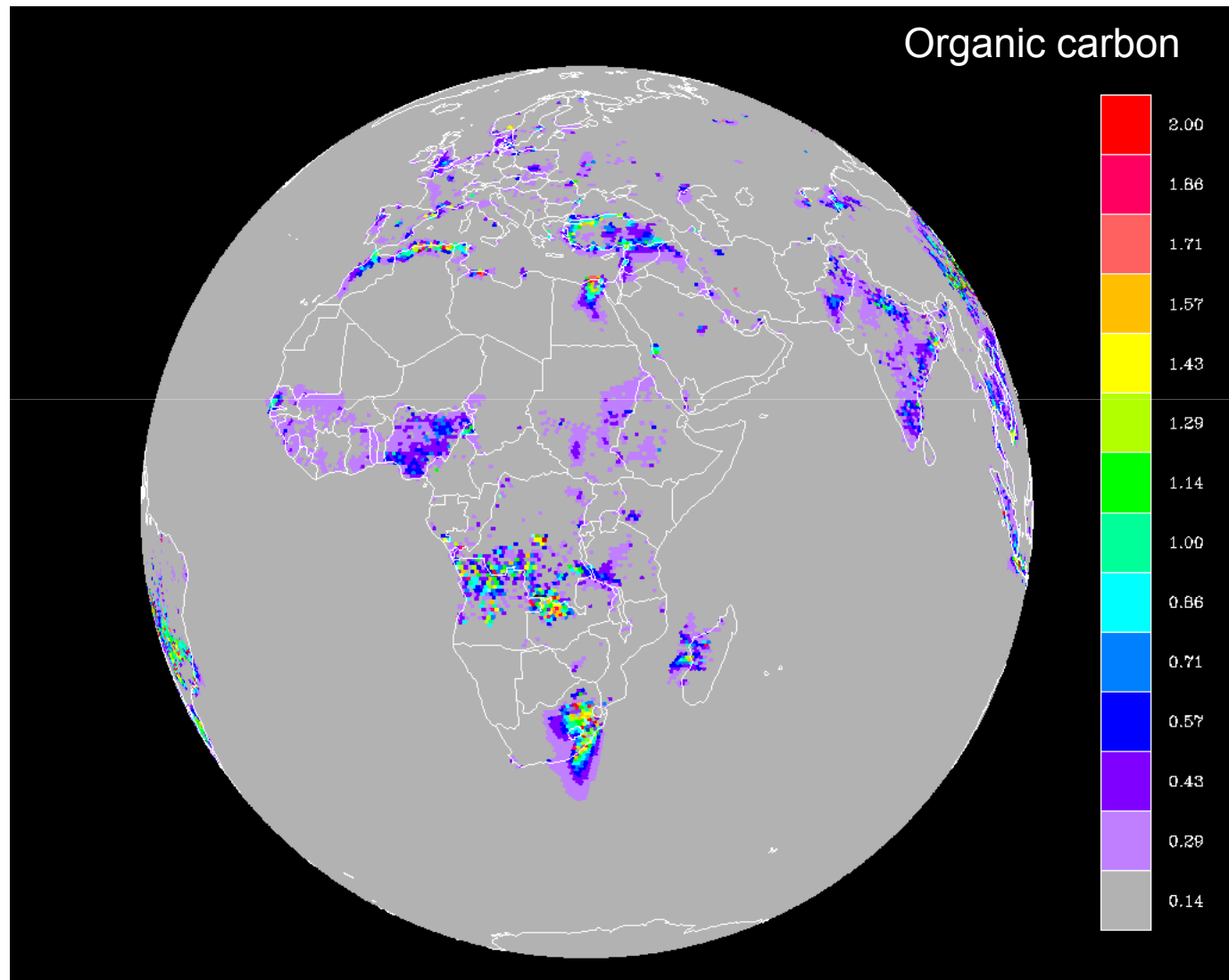
Init: 0000 UTC Tue 22 Jul
Valid: 1800 UTC Tue 22 Jul 08 (1200 MDT Tue 22 Jul
at k-index = 40 sm= 2)

OZONE LEVEL 1
Fest: 21.00 h
O3 concentration

Init: 0000 UTC Tue 22 Jul 08
Valid: 2100 UTC Tue 22 Jul 08 (1500 MDT Tue 22 Jul 08)
et k-index = 40 sm= 2



3-BEM EMISSIONS AT FIM - NOAA GLOBAL MODEL (THE FLOW-FOLLOWING FINITE-VOLUME ICOSAHEDRAL MODEL)

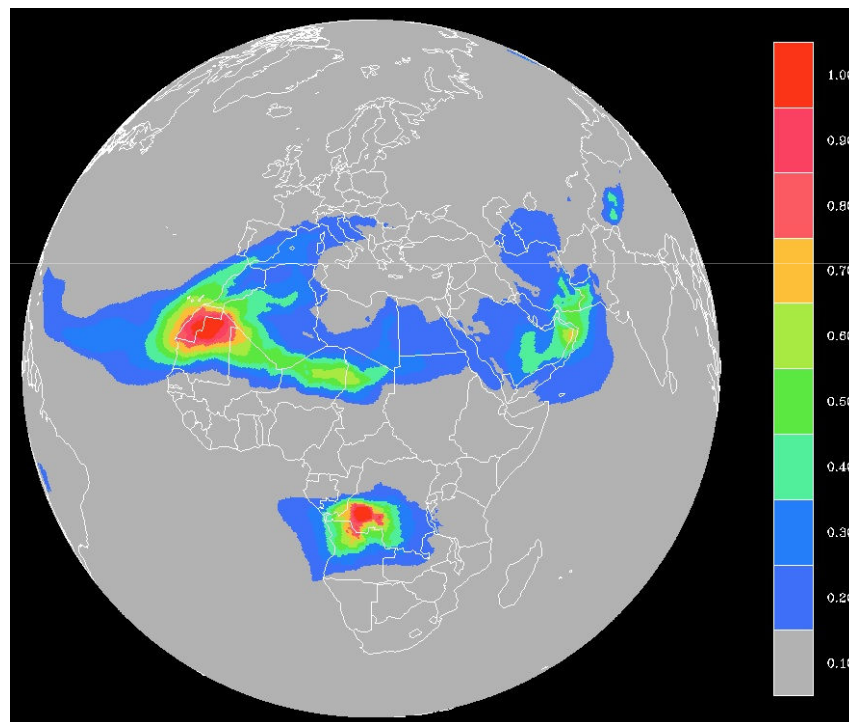


III Workshop MBSCG, Viçosa, MG. 2010

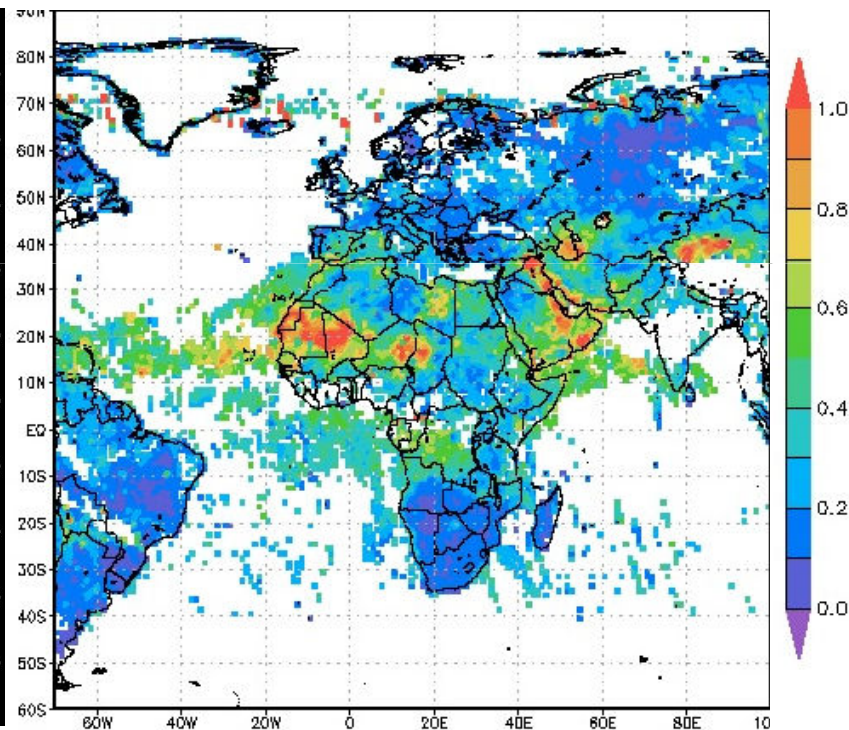


AEROSOL OPTICAL DEPTH (AOD) COMPARISONS OF FIM-CHEM SIMULATIONS WITH SATELLITE OBSERVATIONS

Time averaged FIM-Chem AOD predictions, July 21 - July 25



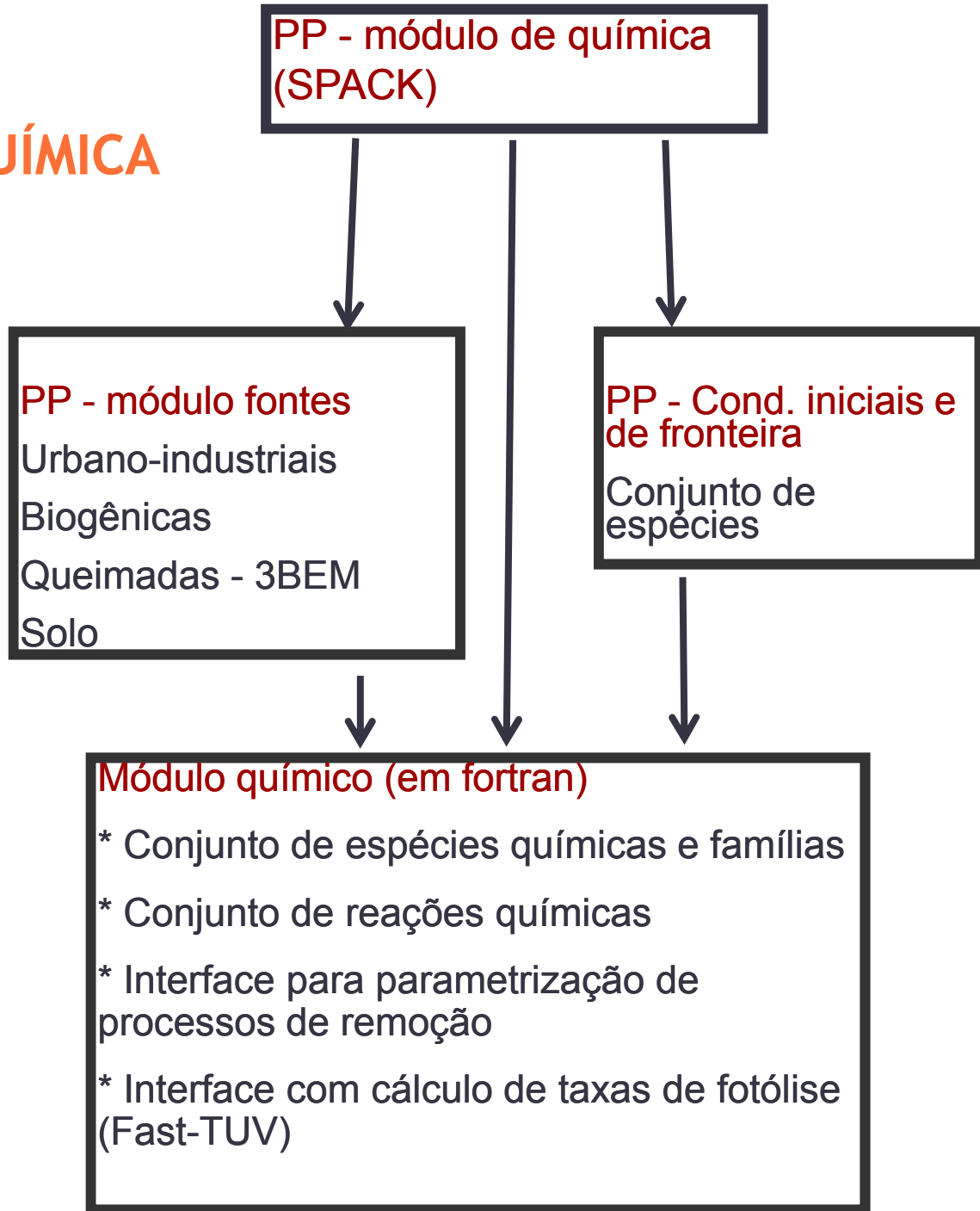
Time averaged AOD Satellite observations from OMI



III Workshop MBSCG, Viçosa, MG. 2010



LINKS COM OS MÓDULOS DE QUÍMICA E AEROSSÓIS



III-Workshop-MBSCG, Viçosa, MG. 2010



PP - módulo de química: SPACK

Entrada:

mecanismo químico:

***espécies químicas e famílias**

***conjunto de reações**

Saida:

*** Conjunto de rotinas fortran 90
(kinetic, rates, Jacobian, etc) para
ser compiladas com o core
dinâmico**

*** Interface com o pp de fontes
* Interface com o pp de cc e ci**

**Pronto para: CBM4, RACM
RADM, RADM2, MELCHIOR,
MOCA**

**Virtualmente qualquer mecanismo
químico pode ser usado sem
qualquer codificação no código
do core dinâmico**

```
File for chemical species RACM
(name and molar mass)
# gaseous species # aqueous
species
77 0
---Gas-phase---
O3      48.
H2O2    34.
NO      30.
NO2     46.
NO3     62.
N2O5    108.
HONO    47.
HNO3    63.
HNO4    79.
SO2      64.
SULF    98.
CO      28.
CO2     44.
N2      28.
O2      32.
.
```

```
%%%%%%%%%%%%%
!% File for gas-phase RACM
!%
!
! R26 (N2 as product)
O1D    ->   O3P
KINETIC TB N2 ARR2 1.80E-11 -110.0
! --- NASA 1994
!
! R27: O1D + O2      ->   O3P + O2
O1D -> O3P
KINETIC TB O2 ARR2 3.20E-11 -70.0
! --- NASA 1994
!
! R28
O1D -> 2. HO
KINETIC TB H2O ARR2 2.20E-10 0.0
! --- NASA 1994
!
! R29: (+ O2 as product)
O3 + HO      ->   HO2
KINETIC ARR2 1.60E-12    940.0
! --- NASA 1994
!
! R30 (+ 2.0 O2 as product)
O3 + HO2     ->   HO
KINETIC ARR2 1.10E-14    500.0
! --- NASA 1994
```

CHEM1-LIST

```
MODULE chem1_list
```

```
IMPLICIT NONE
```

```
INTEGER,PARAMETER :: maxnspecies= 200
```

```
INTEGER,PARAMETER :: nspecies=006
```

```
!Name of species
```

```
CHARACTER(LEN=8),PARAMETER,DIMENSION
```

```
(nspecies) :: spc_name=(/ &
```

```
'O3 ' & !
```

```
, 'NO ' & !
```

```
, 'NO2 ' & !
```

```
, 'O1D ' & !
```

```
, 'O3P ' & !
```

```
, 'O2 ' & !
```

```
/)
```

```
!Number of each specie
```

```
INTEGER,PARAMETER :: O3 =001
```

```
INTEGER,PARAMETER :: NO =002
```

```
INTEGER,PARAMETER :: NO2 =003
```

```
INTEGER,PARAMETER :: O1D =004
```

```
INTEGER,PARAMETER :: O3P =005
```

```
INTEGER,PARAMETER :: O2 =006
```

-

-

!for memory allocation:

!This parameters are use for documentation only.

!Use them in a program in substitution of numerical terms.

```
INTEGER,PARAMETER :: src = 1 ! source term
```

```
INTEGER,PARAMETER :: ddp = 2 ! dry deposition
```

```
INTEGER,PARAMETER :: wdp = 3 ! wet deposition
```

```
INTEGER,PARAMETER :: fdda = 4! four-dim assimilation
```

```
INTEGER,PARAMETER :: on = 1
```

```
INTEGER,PARAMETER :: off = 0
```

!

```
spaction(specie,[1=source,2=drydep,3=wetdep,4=fdda])
```

```
INTEGER,PARAMETER,DIMENSION(4,nspecies)
```

```
:: spc_alloc=RESHAPE((/ &
```

```
0 , 0 , 0 , 0 , & ! O3 - 001
```

```
0 , 0 , 0 , 0 , & ! NO - 002
```

```
1 , 0 , 0 , 0 , & ! NO2 - 003
```

```
0 , 0 , 0 , 0 , & ! O1D - 004
```

```
0 , 0 , 0 , 0 , & ! O3P - 005
```

```
0 , 0 , 0 , 0 , & ! O2 - 006
```

```
/),(/4,nspecies/))
```

PP - MÓDULO DE FONTES

Emissões de queimadas

- **Brazilian Biomass Burning Emission Model** (Freitas et al., 2005; Longo et al., 2007): plume rise mechanism, daily and model resolution.
- **GFEDv2** (van der Werf et al., 2006): 8days/monthly - 1x1 degree.
- Emission Factors from Andreae and Merlet (2001).

110 species

Biomes: TropFor, ExtratropF, Savanna, Pasture, charcoal, waste, biofuel					
CO2	n_butane	n_hexane	Butanols	Heptanones	ethylamine
CO	i-butane	isohexanes	cyclopentanol	Octanones	trimethylamine
CH4	1_pentene	heptane	phenol	Benzaldehyde	n_pentylamine
NHMC	2_pentene	octenes	Formaldehyde	Furan	2_me_1_butylamine
C2H2	n_pentane	terpenes	Acetald	2_Me_Furan	HFo
C2H4	2_Me_Butene	benzene	Hydroxyacetaldehyde	3_Me_Furan	HAc
C2H6	2_Me_butane	toluene	Acrolein	2_ethylfuran	Propanoic
C3H4	pentadienes	xlenes	Propanal	2_4_dime_furan	H2
C3H6	Isoprene	ethylbenzen.	Butanals	2_5_Dime_furan	NOx
C3H8	cyclopentene	styrene	Hexanals	2_3_dihydrofuran	NOy
1_butene	cyclopentadiene	PAH	Heptanals	benzfuran	EF_N2O
i-butene	4_me_1_pentene	Methanol	Acetone	Furfural	EF_NH3
tr_2_butene	2_me_1_pentene	Ethanol	2_Butanone	Me_format	EF_HCN
cis_2_butene	1_hexene	1_Propanol	2_3_Butanedione	Me_Aacetate	cyanogen
butadiene	hexadienes	2_propanol	Pantanones	Acetonitrile	SO2
			Hexanones	Acrylonitrile	DMS
				Propionitrile	COS
				pyrrole	CH3Cl
				trimethylpyrazole	CH3Br
				methylamine	CH3I
				dimethylamine	Hg
					PM25
					TPM
					TC ,OC ,BC

PLUME-RISE: DISTRIBUIÇÃO VERTICAL DA FUMAÇA

Saulo R. Freitas, Karla M. Longo

- Regional (CCATT-BRAMS, WRF-CHEM)
- Global (SIM NOAA, NCAR-CAM, HadGM)

- *Freitas et al., GRL - 2006*
- *Freitas et al., ACP - 2007, 2010*
- *Guan et al. ACP - 2008*

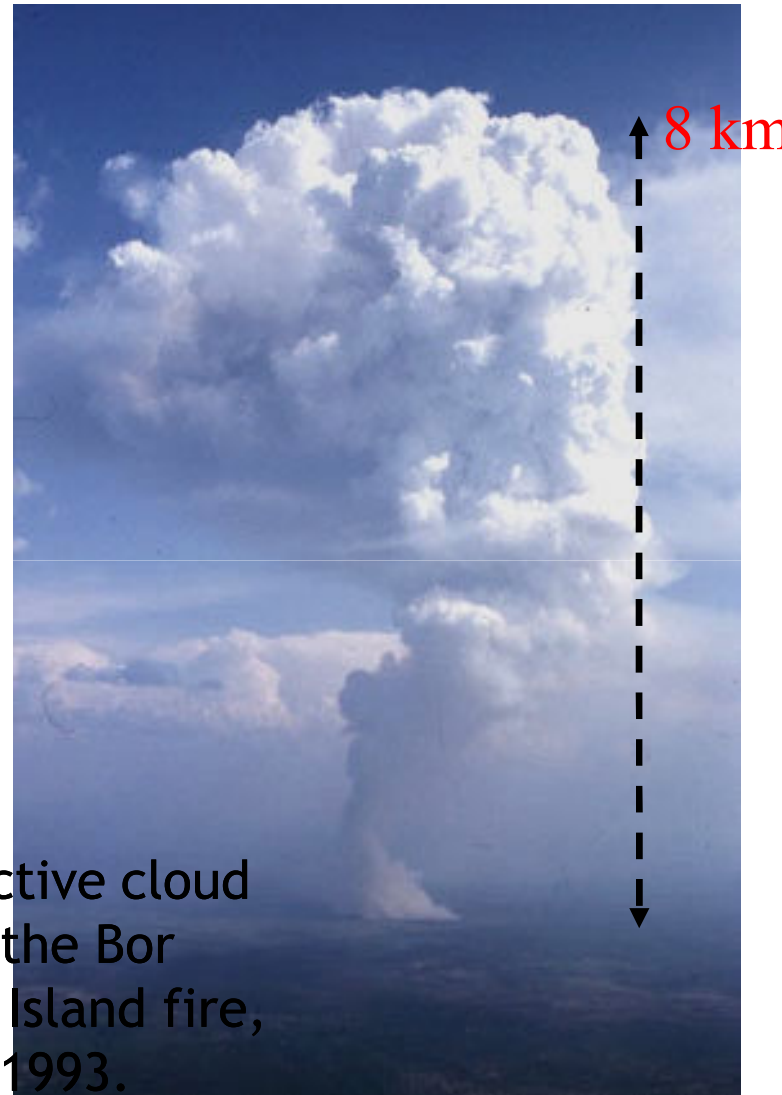


Plume rise sub-grid parameterization

Rondônia, 2002



Convective cloud
above the Bor
Forest Island fire,
6 July 1993.



Plume-rise due to the strong buoyancy of the hot gases/aerosols emitted

INCLUDING PLUME RISE MECHANISM THROUGH “SUPER-PARAMETERIZATION” CONCEPT

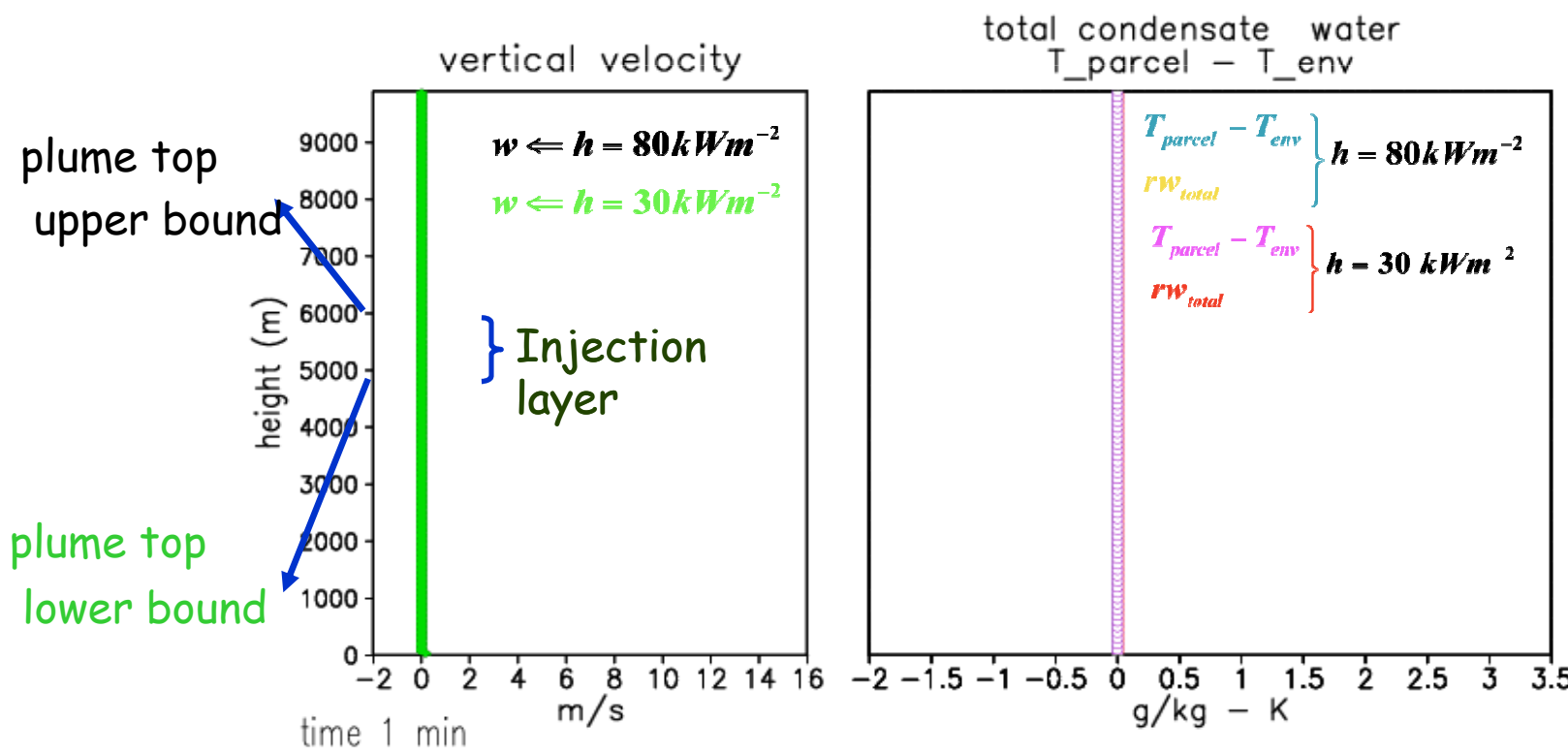


1D plume-rise model for vegetation fires
Biome: Forest

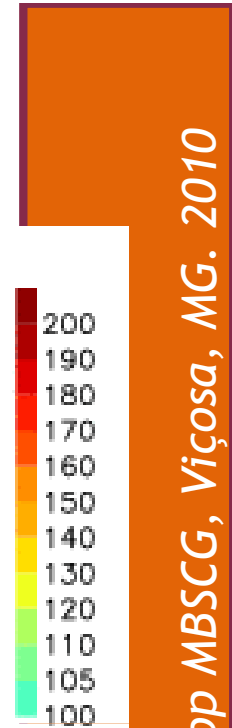
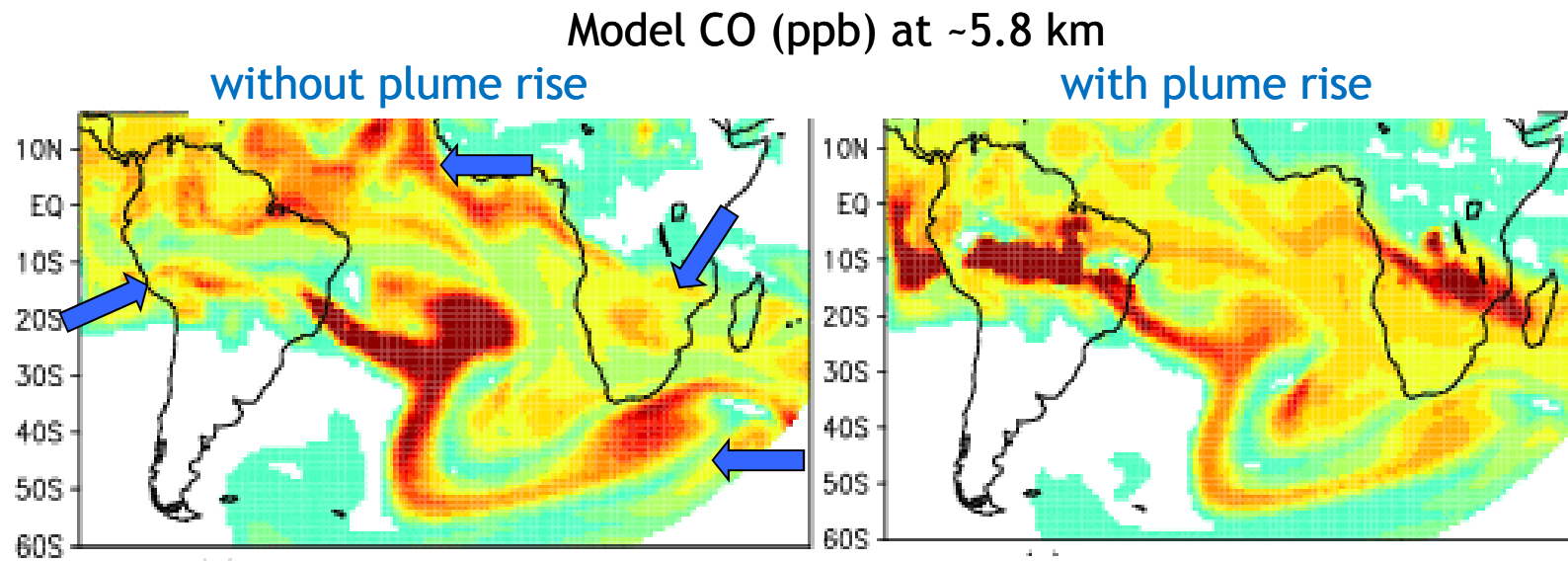
Time duration: 50 mn

Fire size: 20 ha

Heat flux: 80 kW m^{-2} / 30 kW m^{-2}



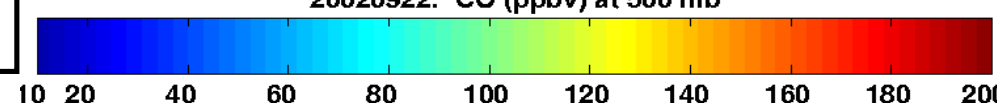
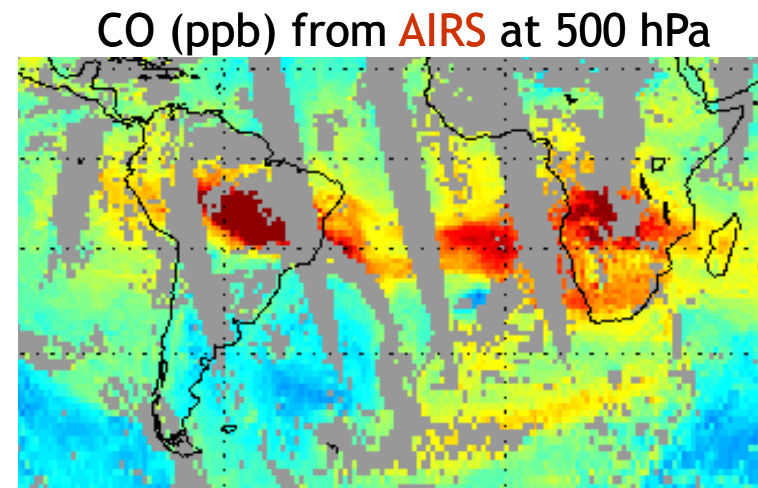
CATT-BRAMS comparison with AIRS 500 hPa CO



22 SEP 2002

McMillan et al., GRL 2005.

1. Atmospheric InfraRed Sounder (AIRS) onboard NASA's Aqua satellite.
2. CO abundances are retrieved from AIRS 4.55 μm spectral region.



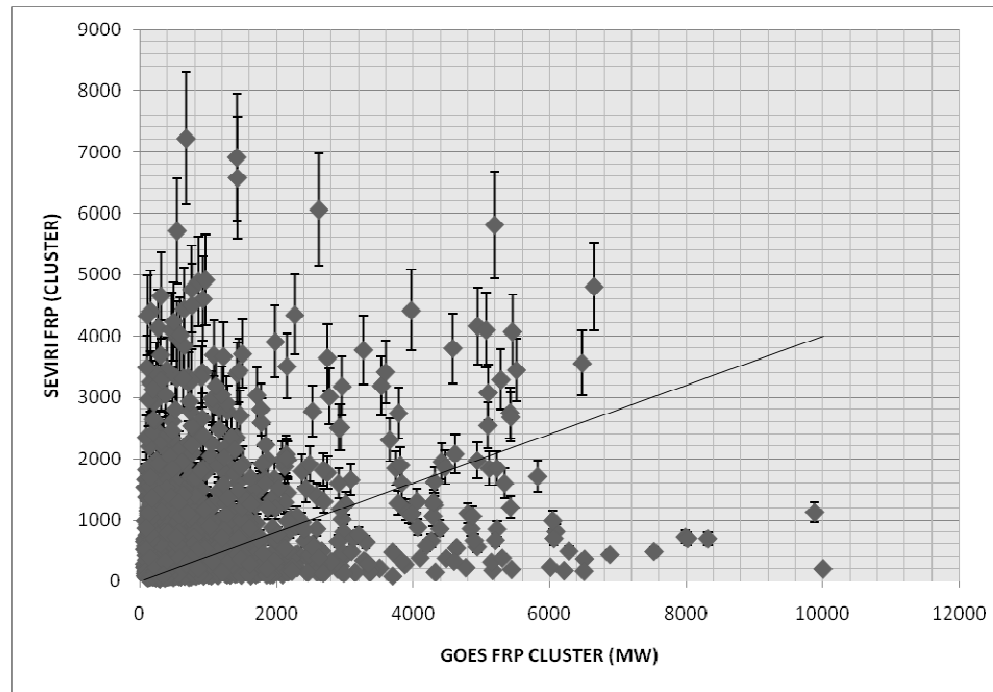
ENERGIA RADIATIVA DO FOGO E ESTIMATIVAS GLOBAIS DE EMISSÃO

Gabriel Pereira, Saulo R. Freitas

- Pereira, G. - Diss. Mestrado, 2009
e doutorado (em andamento)
DSR-INPE, orientação de E. C.
Moraes e S. R. Freitas
- Pereira et al., Atmos. Env. - 2009

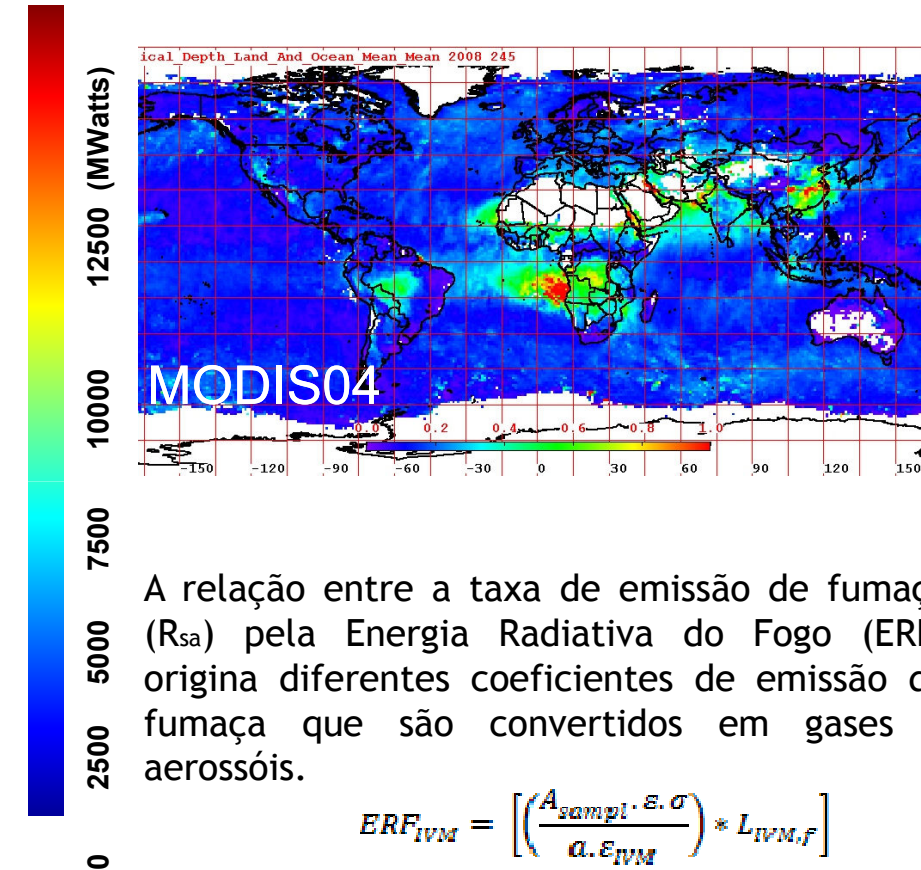
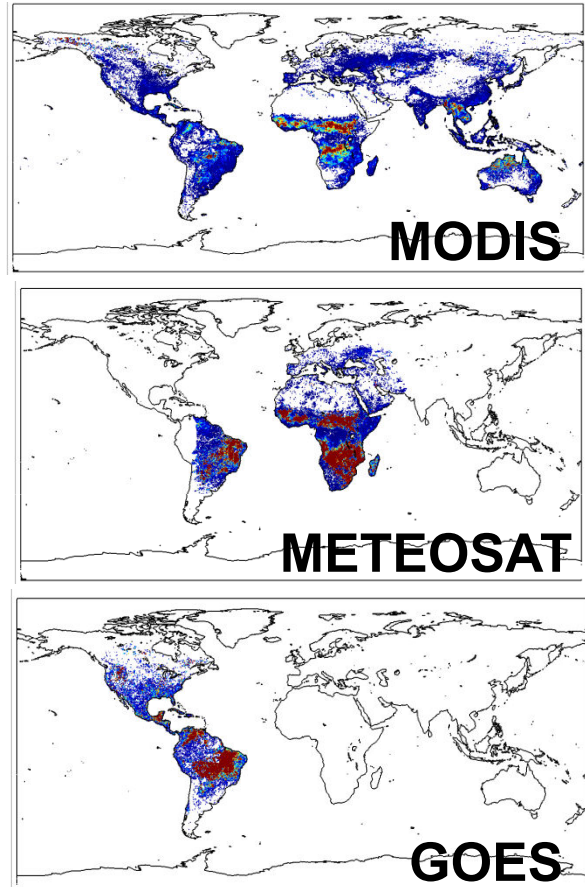


Análise e compatibilidade da energia radiativa do fogo para diferentes dados disponíveis



Estudos indicaram que não há uma relação direta de compatibilidade entre os dados caracterizado pelas diferentes características de cada sensor (geometria de visada, resposta espectral, características dos detectores, grau de saturação, ...).

Utilização da espessura óptica de aerossóis (MODIS04) como fator de correlação e calibração entre os dados de vários sensores



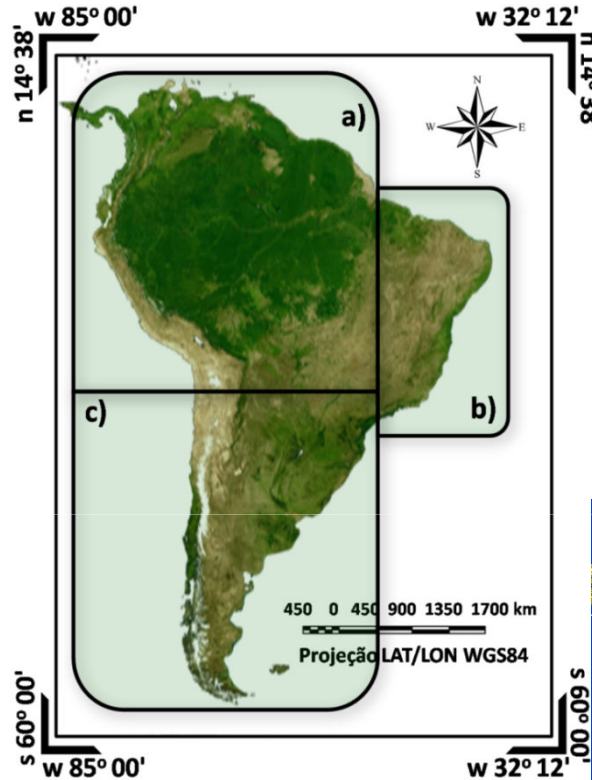
$$R_{sa} = \left\{ \frac{\left(\sum_{i=1}^{fogos} \left[\left(AOT_{550nm}^f - AOT_{550nm}^b \right) (\beta_a + \beta_s) \right] * A_p \right)}{\sum_{i=1}^{fogos} \left(\frac{\sqrt{A_p}}{\sqrt{u^2 + v^2}} \right)} \right\}$$

X

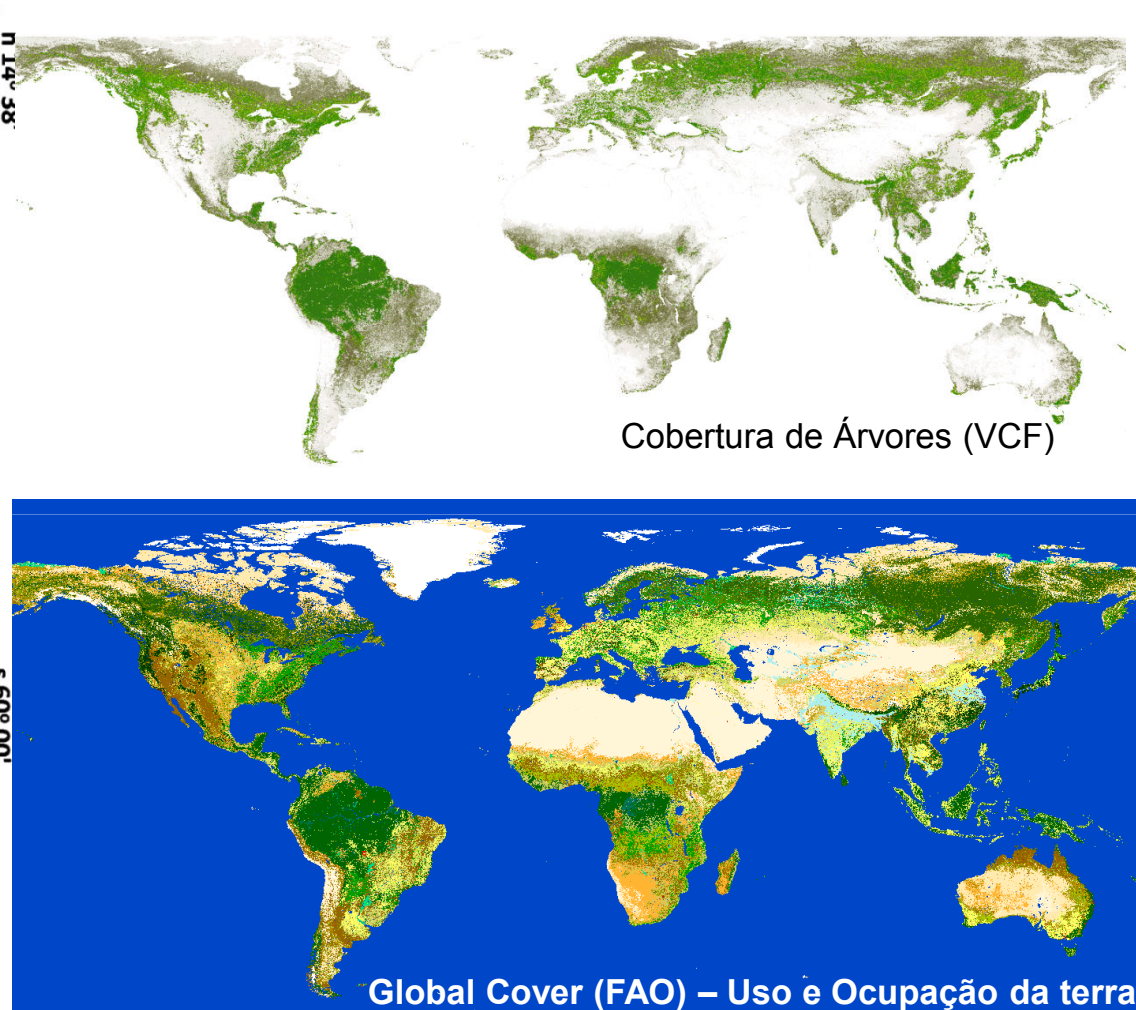
$$\begin{aligned} ERF &= A \cdot \sigma \cdot T_f^4 \\ ERF &= 294,4 * R_f - 110 \text{ MW} \quad (R_B == 300 \text{ K}) \end{aligned}$$

$$R_f = \int_{3.76}^{4.03} B(\lambda, T) d\lambda == t = 0.032$$

Refinamento dos coeficientes de emissão para distintos biomas

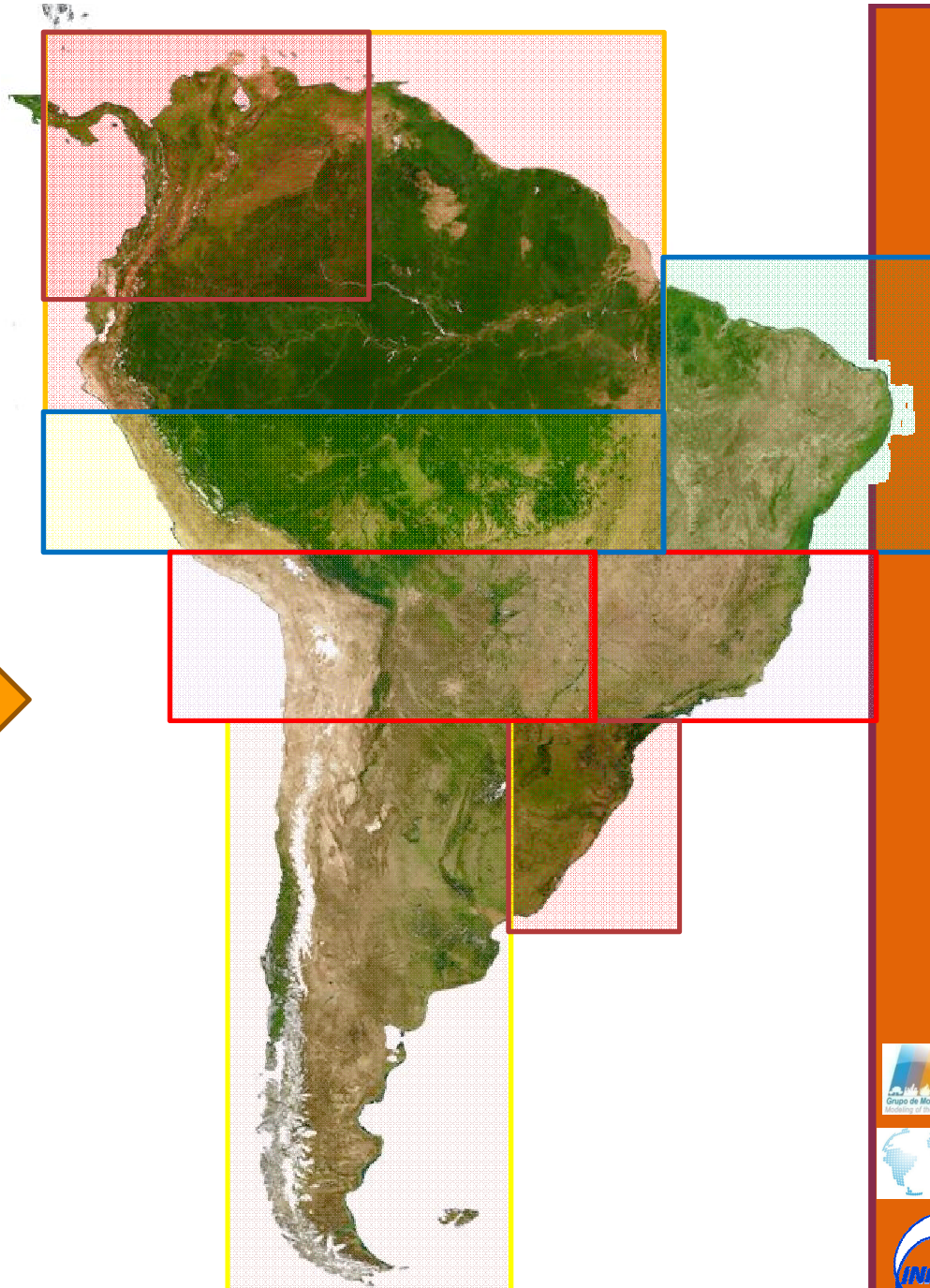
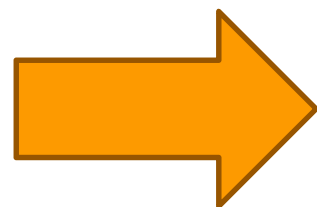
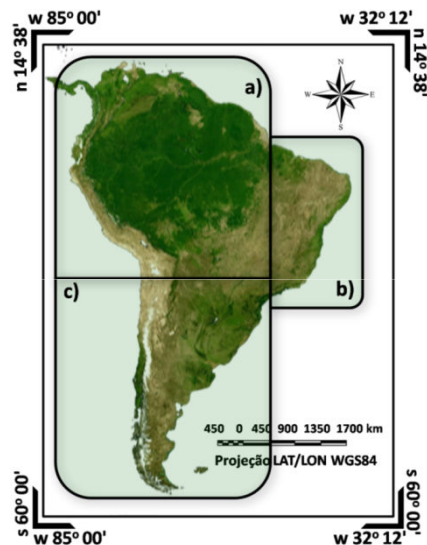


Método atual utiliza um único coeficiente para áreas heterogêneas. Ex.: América do Sul (3 coeficientes).



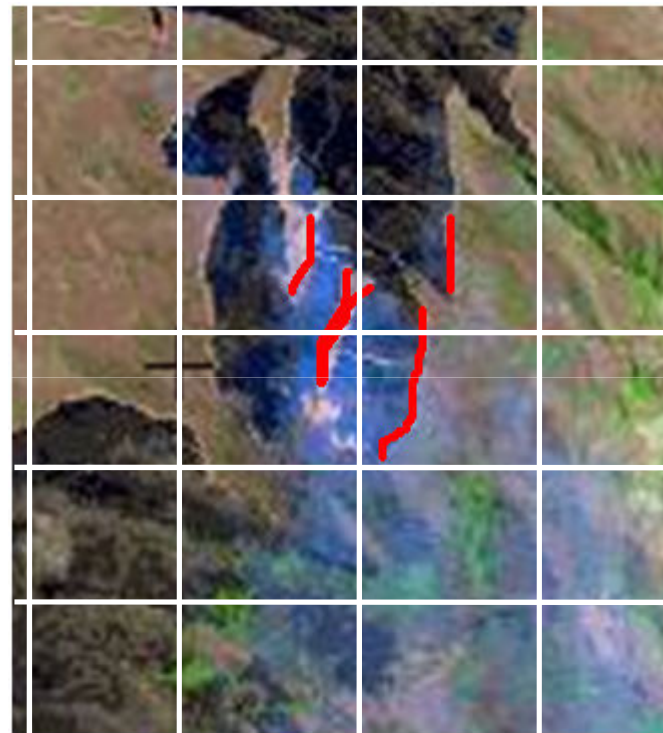
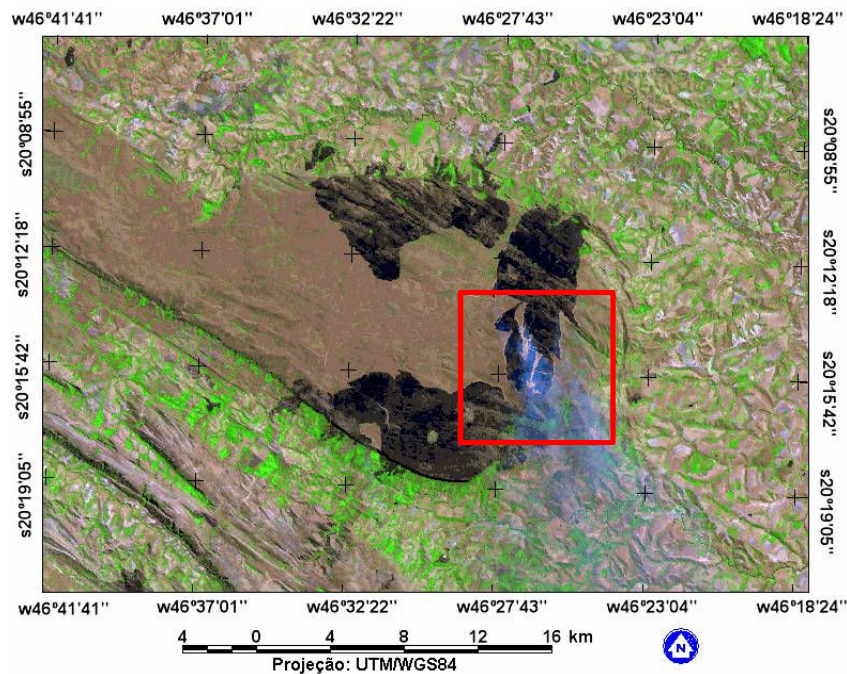
Está em desenvolvimento o refinamento dos coeficientes de emissão baseados na ERF levando-se em conta os distintos biomas terrestres, quantidade de biomassa, característica fisiológica e uso e ocupação da terra.

Exemplo de refinamento para a América do Sul



III Workshop MBSCG, Viçosa, MG. 2010

Estatística e climatologia da área de fogo ativo para a América do Sul (plumerise)



III Workshop MBSCG, Viçosa, MG. 2010



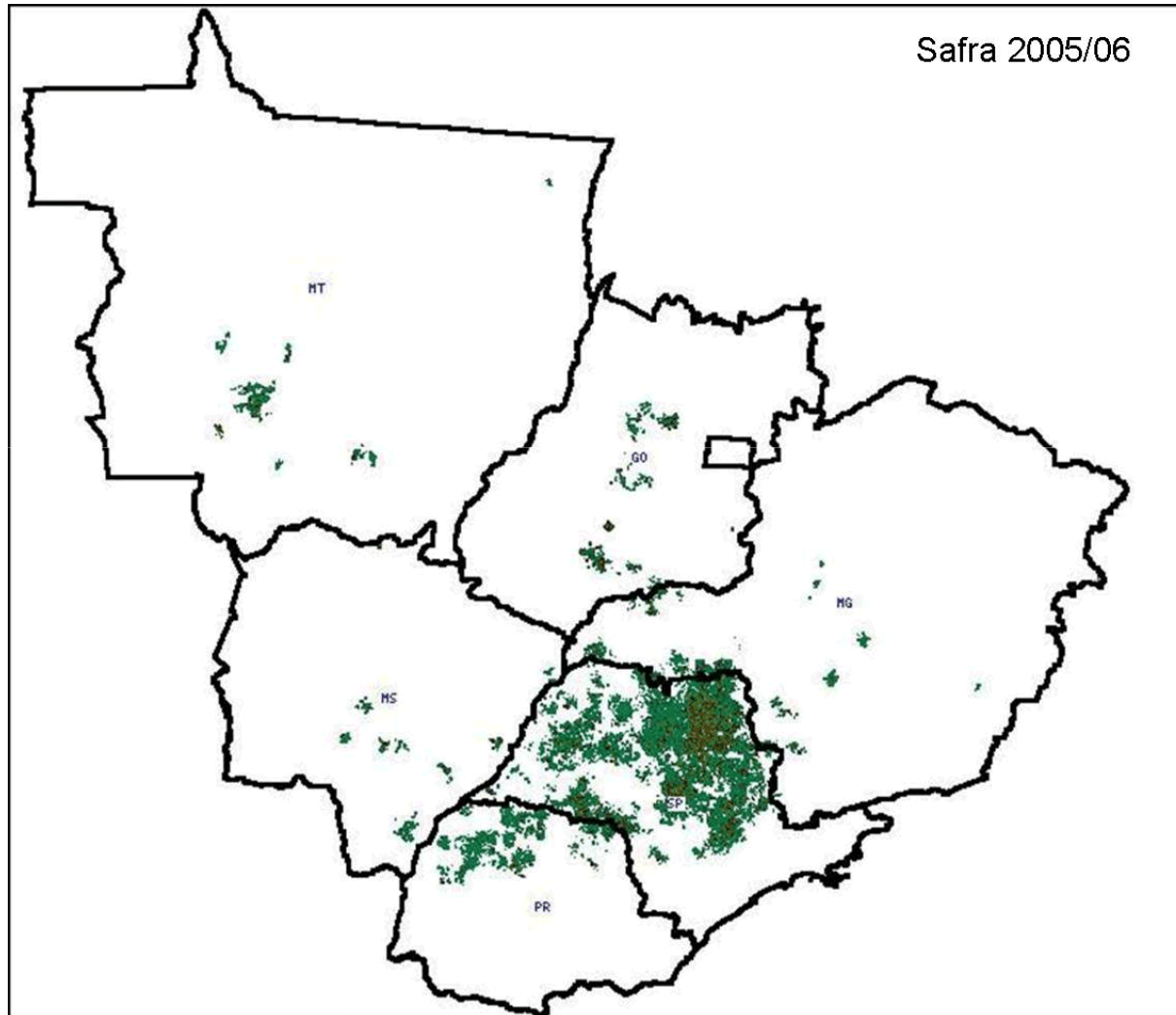
EMISSÕES DE QUEIMADAS ASSOCIADAS COM A AGROINDÚSTRIA DA CANA-DE-AÇÚCAR

Daniela A. França, Karla M. Longo

- França, D. A., doutorado (em andamento) DSR-INPE, orientação de B. Rudorff e K. M. Longo



Detecção e mapeamento de cana-de-açúcar



Estimativas de emissões da queima de cana-de-açúcar

- Áreas queimadas
- Medidas de fatores de emissão (laboratório e campo)
- Estimativas de emissões de queimadas
- Áreas de produção de cana-de-açúcar (2003 – 2009)
- Avaliação do impacto da produção de cana-de-açúcar em escala regional

Cenários de mudança de uso e cobertura da terra para cana-de-açúcar

- Modelagem dinâmica espacial
Atuação de diversos fatores sociais, econômicos e ambientais na sua dinâmica

ESTIMATIVAS DE EMISSÕES DE AEROSSÓIS DE DESMATAMENTO DE 2007-2030

Ricardo Siqueira, Saulo R. Freitas, Karla M. Longo,
Judith J. Hoelzemann

- Projeto do Banco Mundial (ICONE, EMBRAPA, CSR-UFMG, INPE)
- Doutorado de R. Siqueira (CCST-INPE) orientado por S. Freitas e K. Longo



Cenários de emissões de aerossóis por desmatamento (2007-2030)

- Mapa de uso da terra
- Total de emissão de carbono equivalente

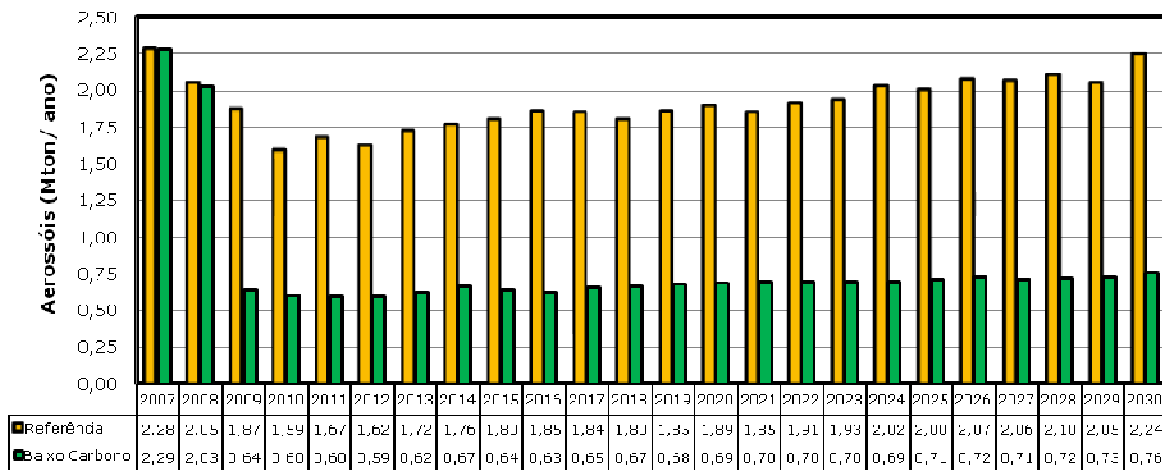


- Hipótese: 85% do CO₂ gerado por combustão

$$ET_{aer} = (EF_{aer}/EF_{CO_2}) \cdot ET_{CO_2}$$



Estimativa de emissão total de aerossóis no Brasil



Brazil low carbon study - World Bank

Modelo econômico

Brazil Land Use Modeling (BLUM)

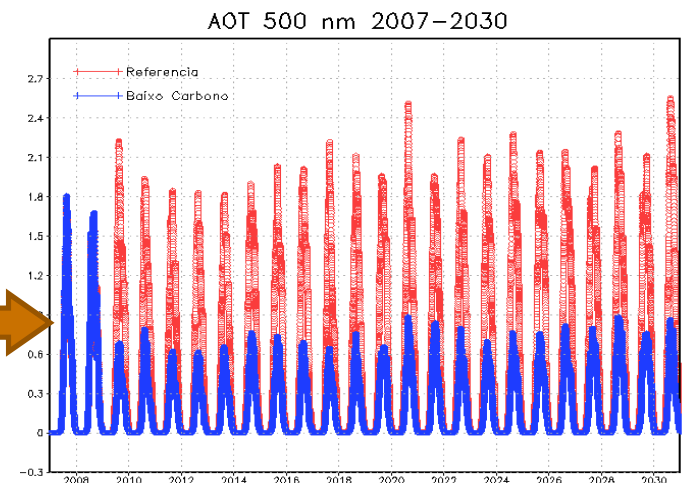
Demanda e oferta produtos agrícolas e pecuária
(Ícone-embrapa)

Espacialização georeferenciada

Simulate Brazil (SIM BRAZIL)

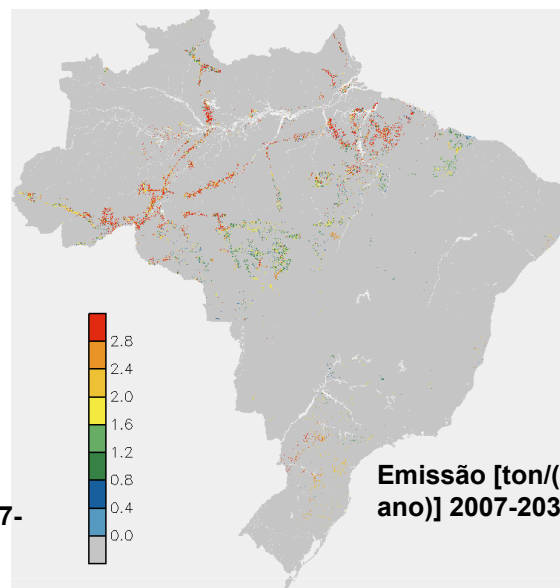
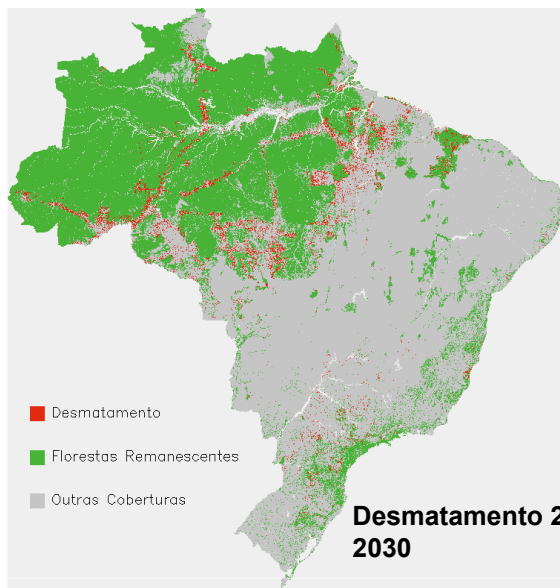
Alocação das áreas modificadas no Brasil (2007 - 2030) (UFMG)

AOT na Amazônia - CCATT-BRAMS

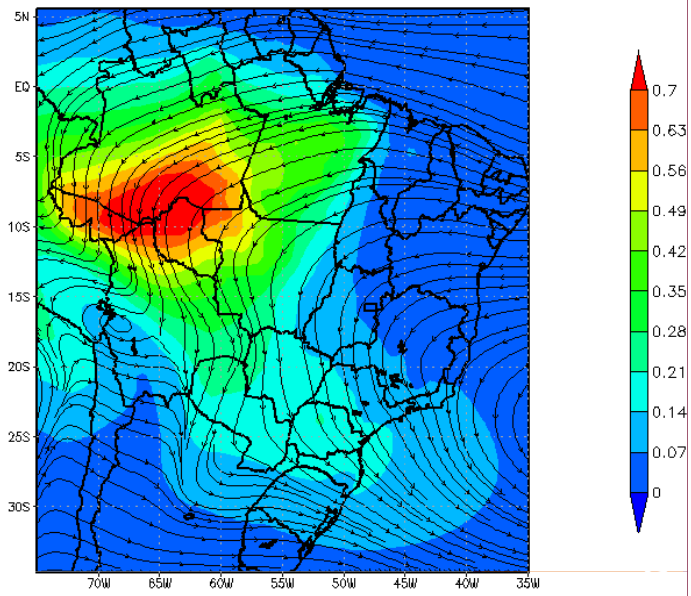


Distribuição Espacial das Emissões

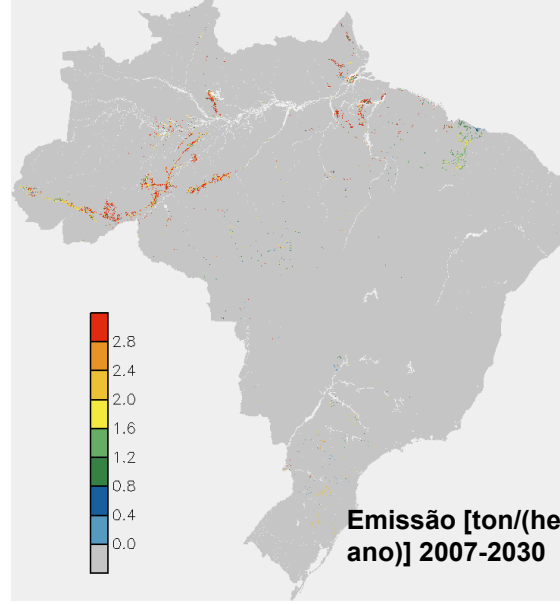
REFERÊNCIA



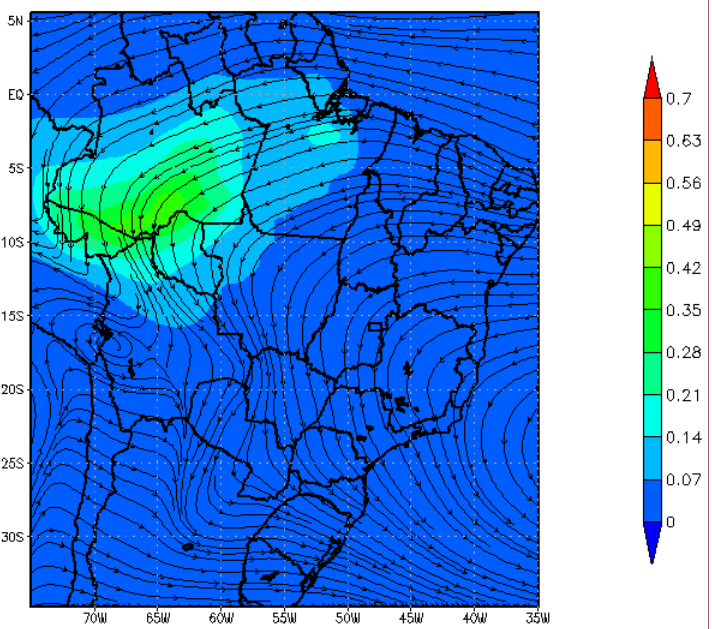
AOT e Vento 1500m 2007–2030 Referencia



BAIXO CARBONO

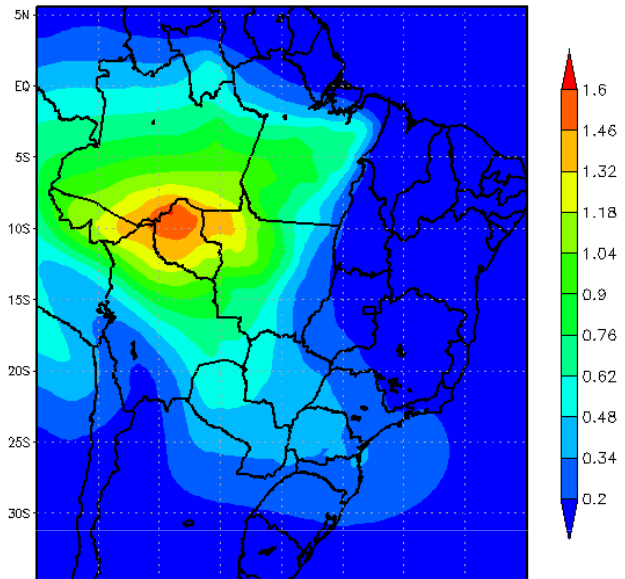


AOT e Vento 1500m 2007–2030 Baixo Carbono

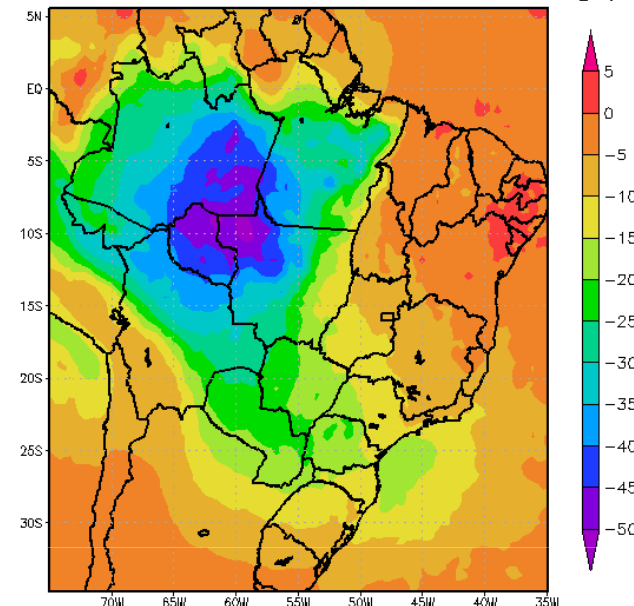


Impactos: cenários de referência x baixo carbono

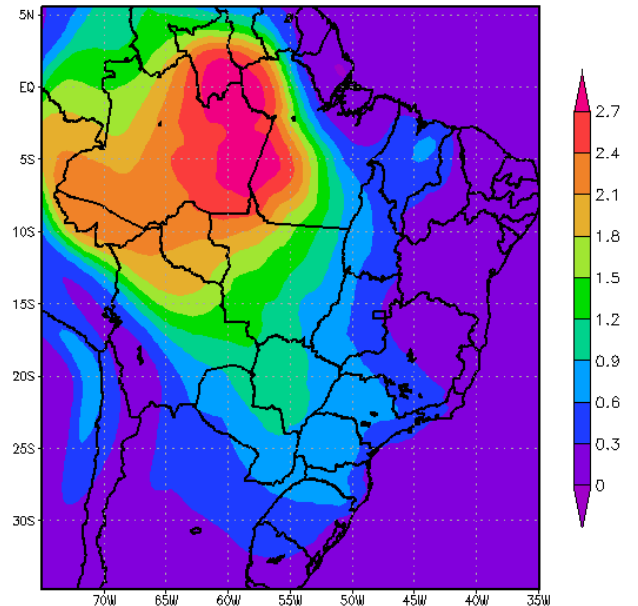
Diferença AOT 500 nm AGO–SET–OUT 2007–2030



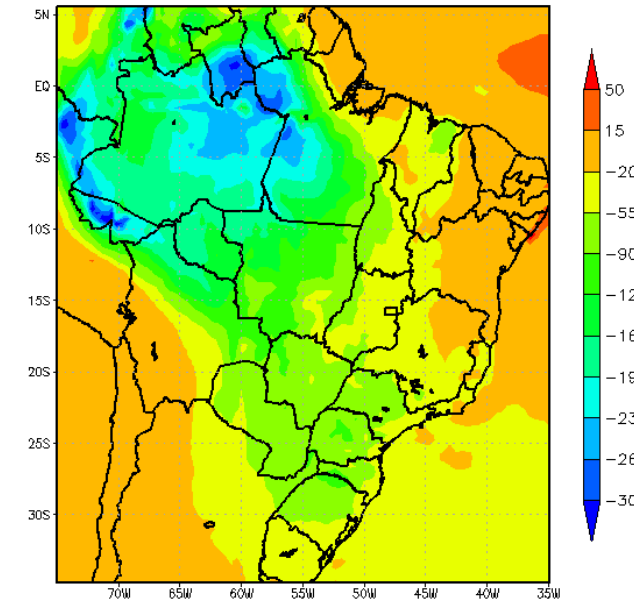
Diferença Radiacao AGO–SET–OUT 2007–2030 [W/m²]



Diferença Temperatura AGO–SET–OUT 2007–2030



Diferença Precipitacao AGO–SET–OUT 2007–2030 [mm]



EMISSÕES GLOBAIS DE FOGOS DE VEGETAÇÃO

Judith J. Hoelzemann

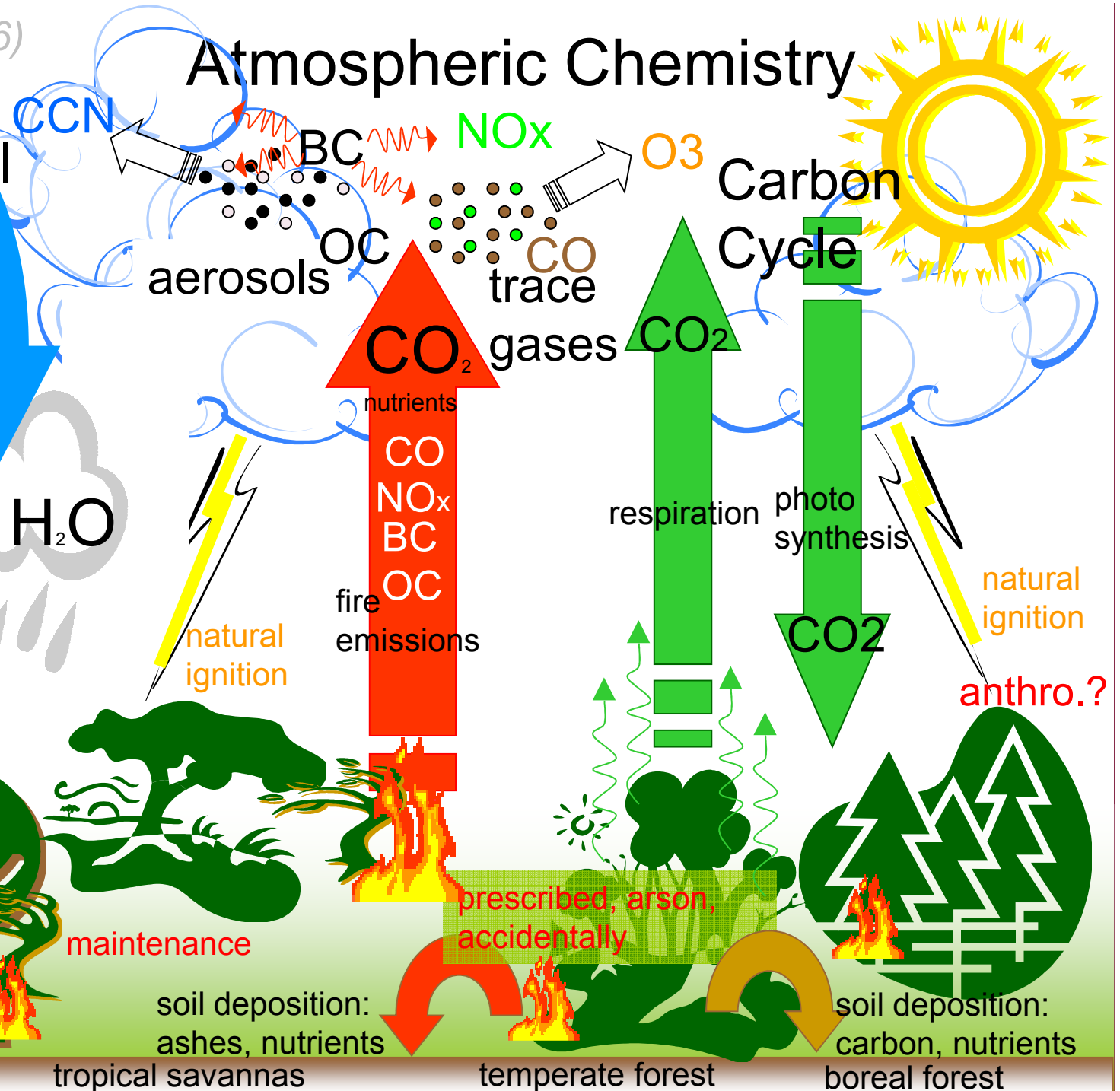
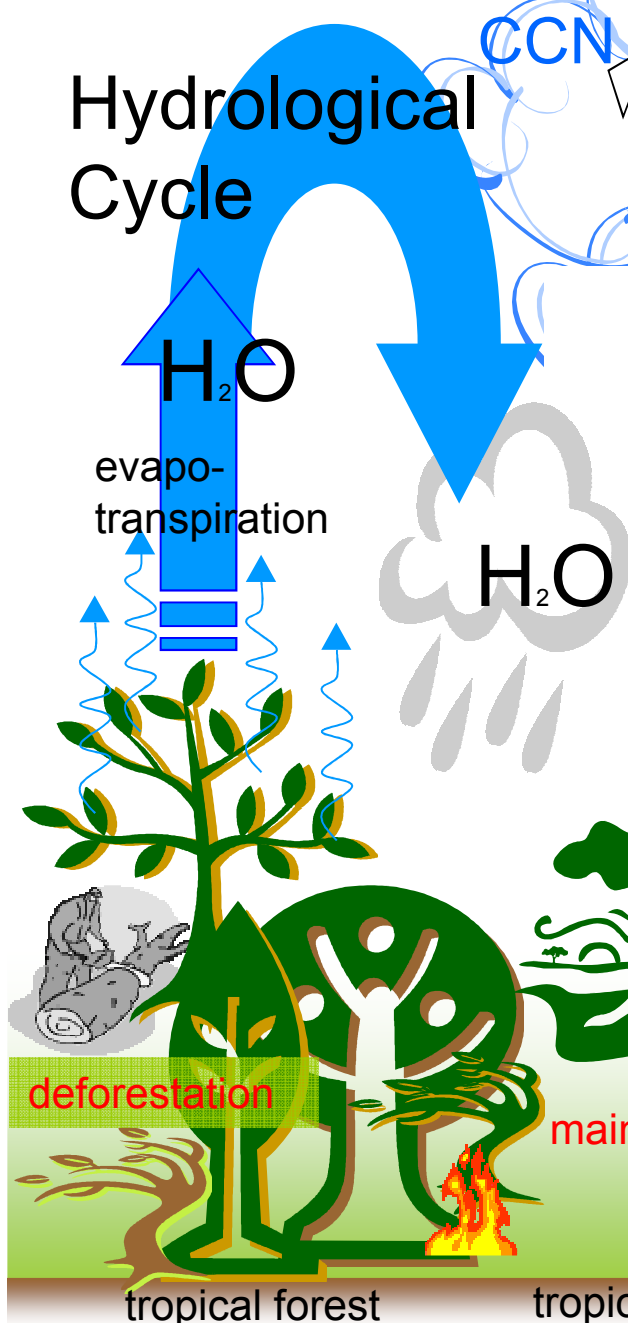
- GWEM (*Global Wildland Fire Emission Model*)
- Particularidades sobre fogos em diferentes regiões
- Aplicações do GWEM no modelo global MOZART-2
- *Hoelzemann, J. doutorado MPI-M
Hamburg - concluído em 2006,
orientado por G. P. Brasseur e G.
Granier*
- *Hoelzemann, J., et al., JGR -2004*
- *Dentener F. et al., ACP - 2006*
- *Hoelzemann, J., livro - 2007*
- *Schultz, M. et al., Glob. Biogeochem.
Cyc. - 2008*



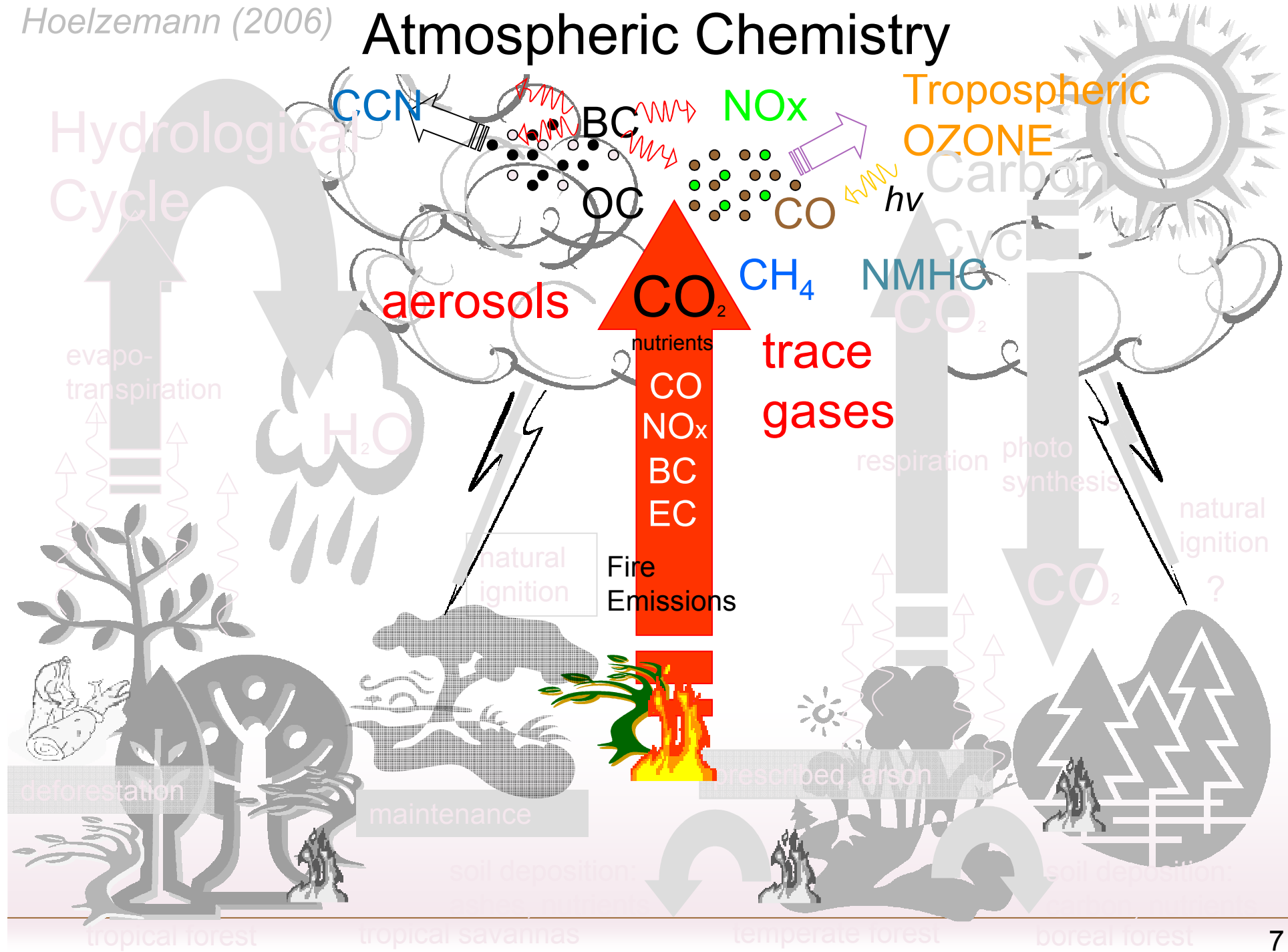
Hoelzemann (2006)

Atmospheric Chemistry

Hydrological Cycle

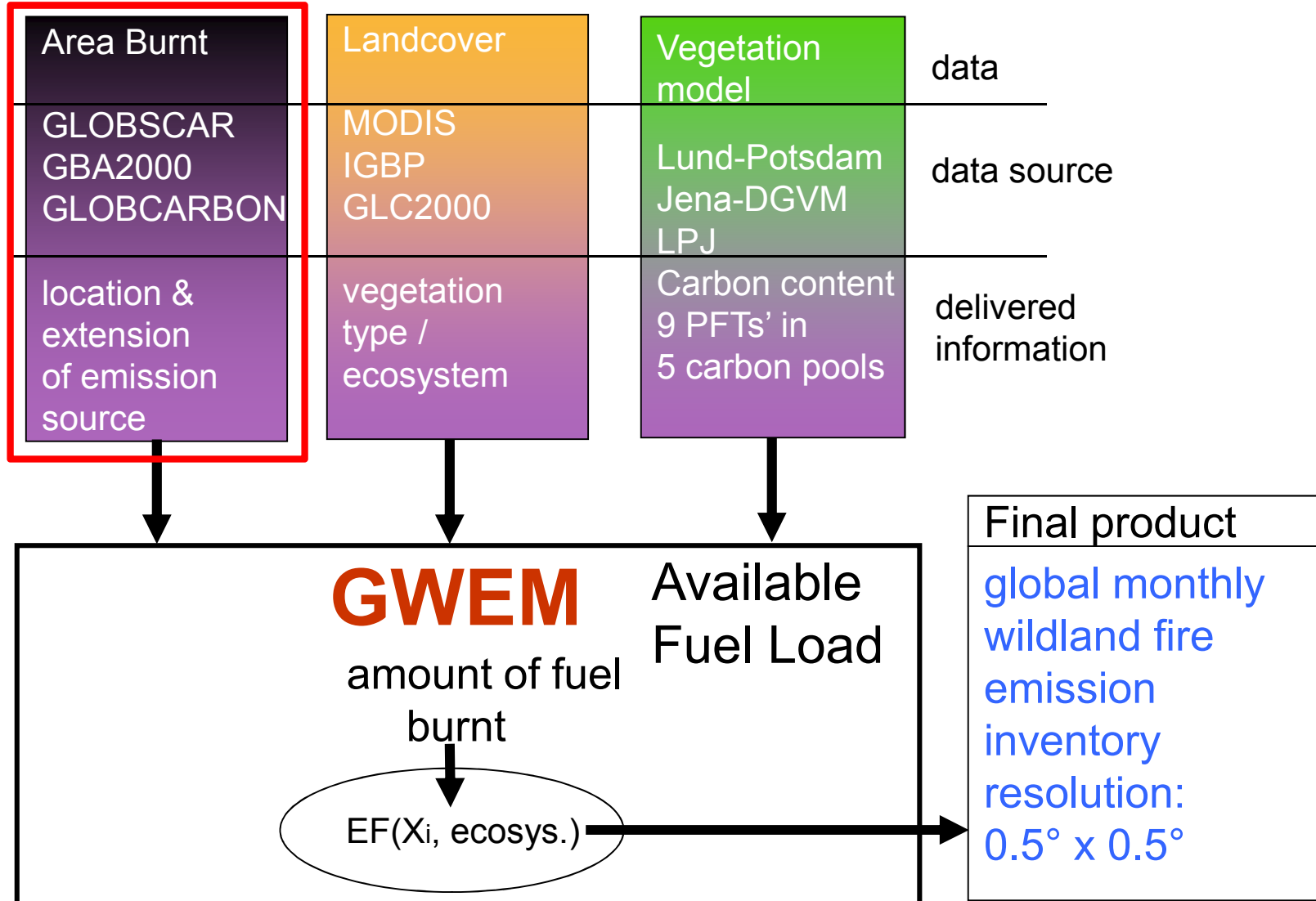


Atmospheric Chemistry



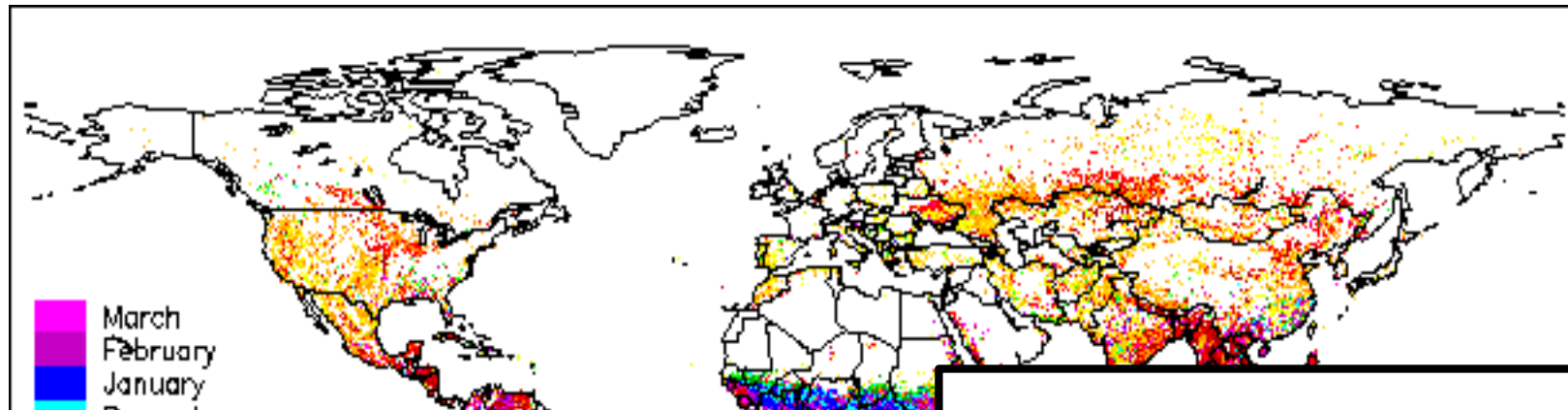
GWEM: GLOBAL WILDLAND FIRE EMISSION MODEL

III Workshop MBSCG, Viçosa, MG. 2010

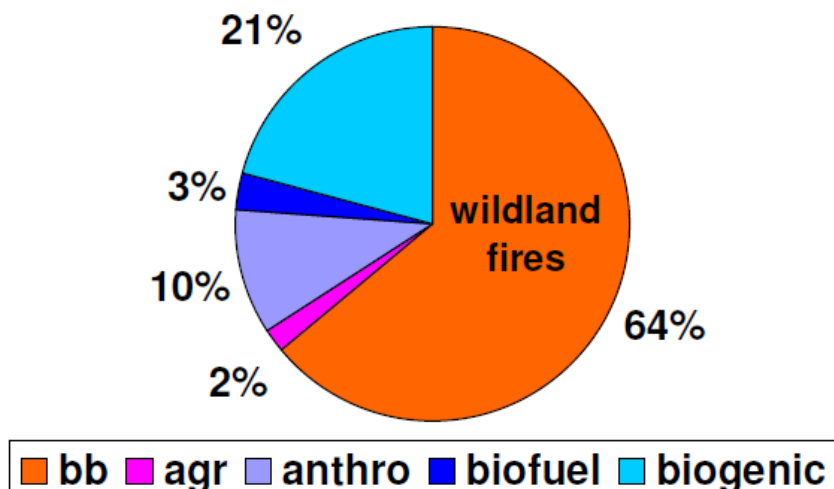


Hoelzemann et al. (2004); Hoelzemann (2006); Hoelzemann (2007)

EMISSÕES GLOBAIS DE FOGO



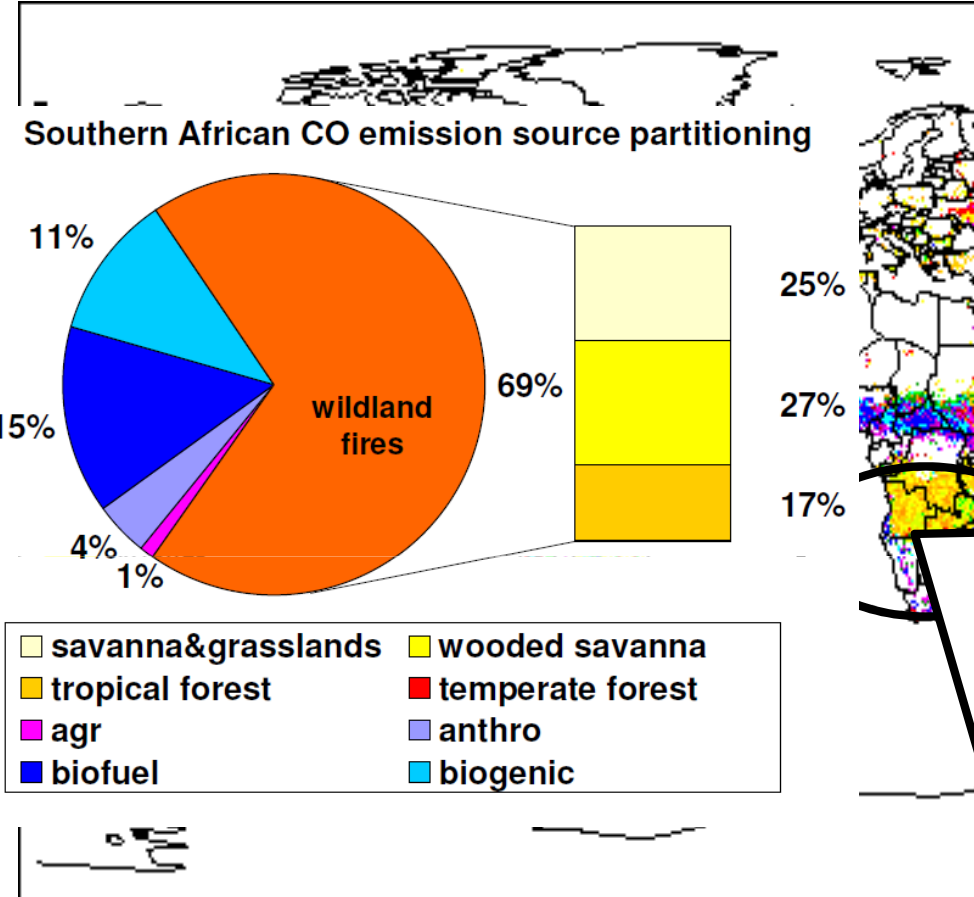
South American CO emission source partitioning
for MOZART run J (gfed)



América do Sul

- Sazonalidade: JUN-NOV, regular, annual
- ciclo diurno: sim
- Ocorrência: desmatamento Brasil central, manutenção de pasto cerrado
- Ecosistemas: cerrado, pasto, floresta tropical primária e secundária
- Causas: uso agrícola, desmatamento, raios
- Importância (na química da atmosfera): global, alta

EMISSÕES GLOBAIS DE FOGO

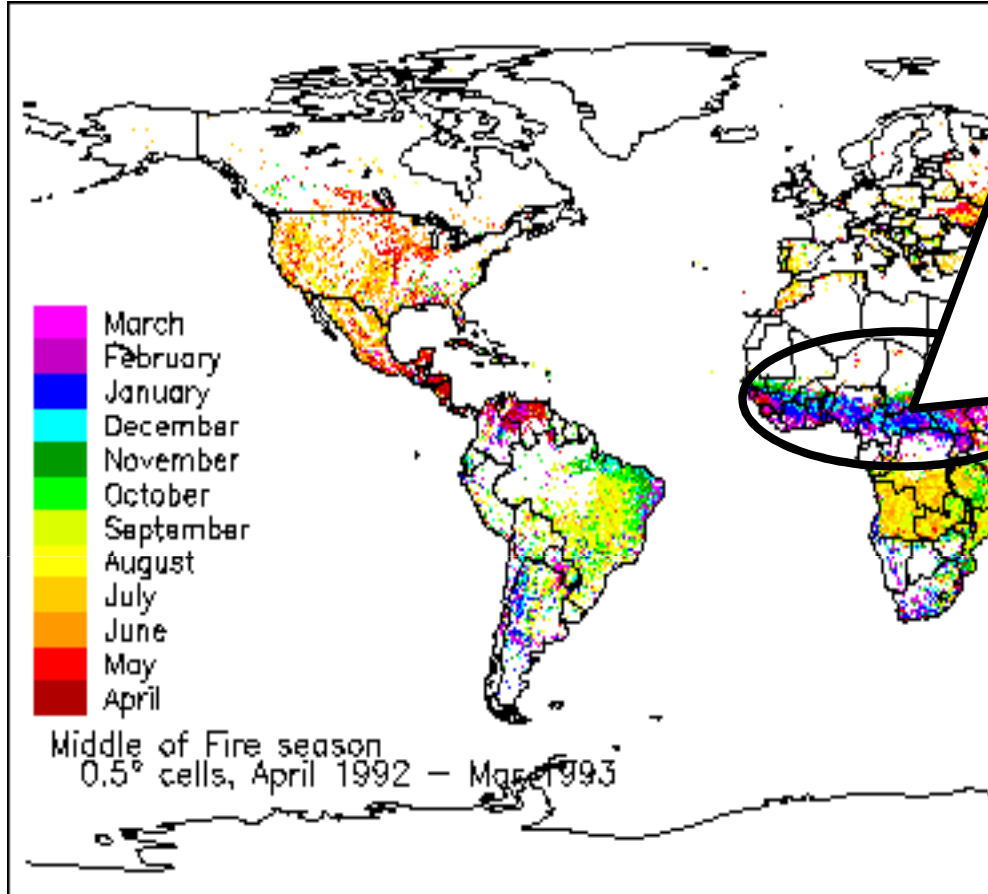


África - hemisfério sul

- Sazonalidade: JUL-SET, regular,
- ciclo diurno: sim
- Ocorrência: norte → sul, anual / bi-anual
- Ecosistemas: savanna, campo limpo, floresta tropical
- Causas: uso agrícola
- Importância (na química da atmosfera): global, alta

Monthly occurrence of global fire emissions from April 1992 to March 1993, source: Dwyer et al., 1999

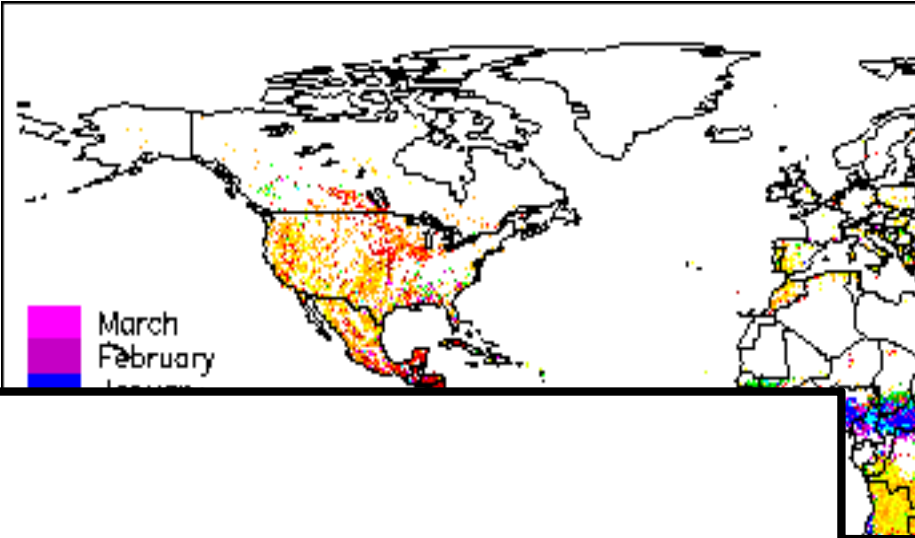
EMISSÕES GLOBAIS DE FOGO



- Africa -hemisfério norte**
- Sazonalidade: OUT-MAR, regular, annual / bi-anual
 - ciclo diurno: sim
 - Ocorrência: propagação de oeste -> leste -> sul em uma faixa sul do sahara
 - Ecosistemas: savanna, campo limpo, floresta tropical
 - Causas: uso agrícola, desmatamento
 - Importância (na química da atmosfera): global, alta

Monthly occurrence of global fire emissions from April 1992 to March 1993, source: Dwyer et al., 1999

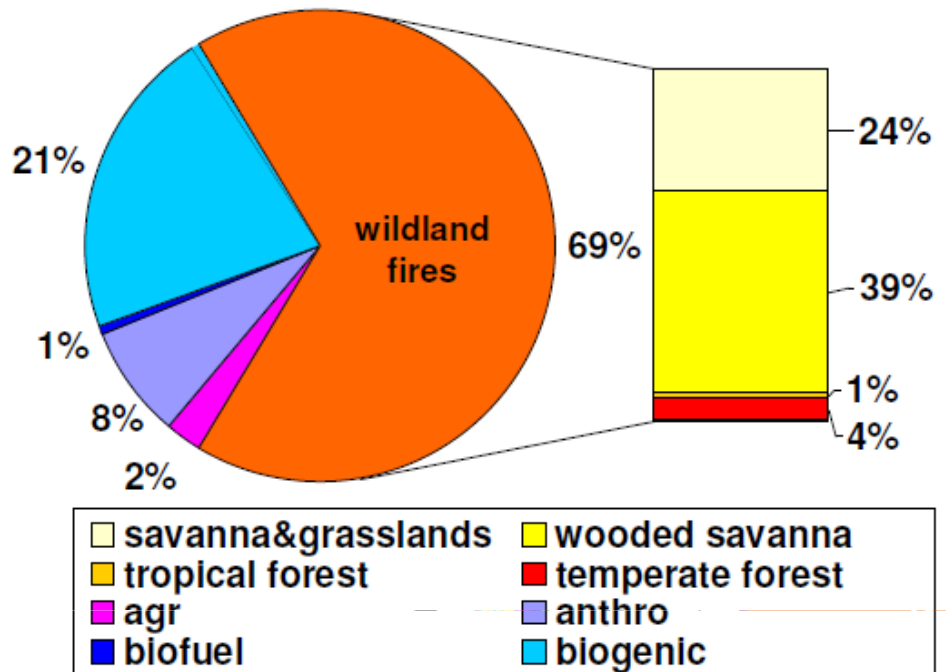
EMISSÕES GLOBAIS



Australia

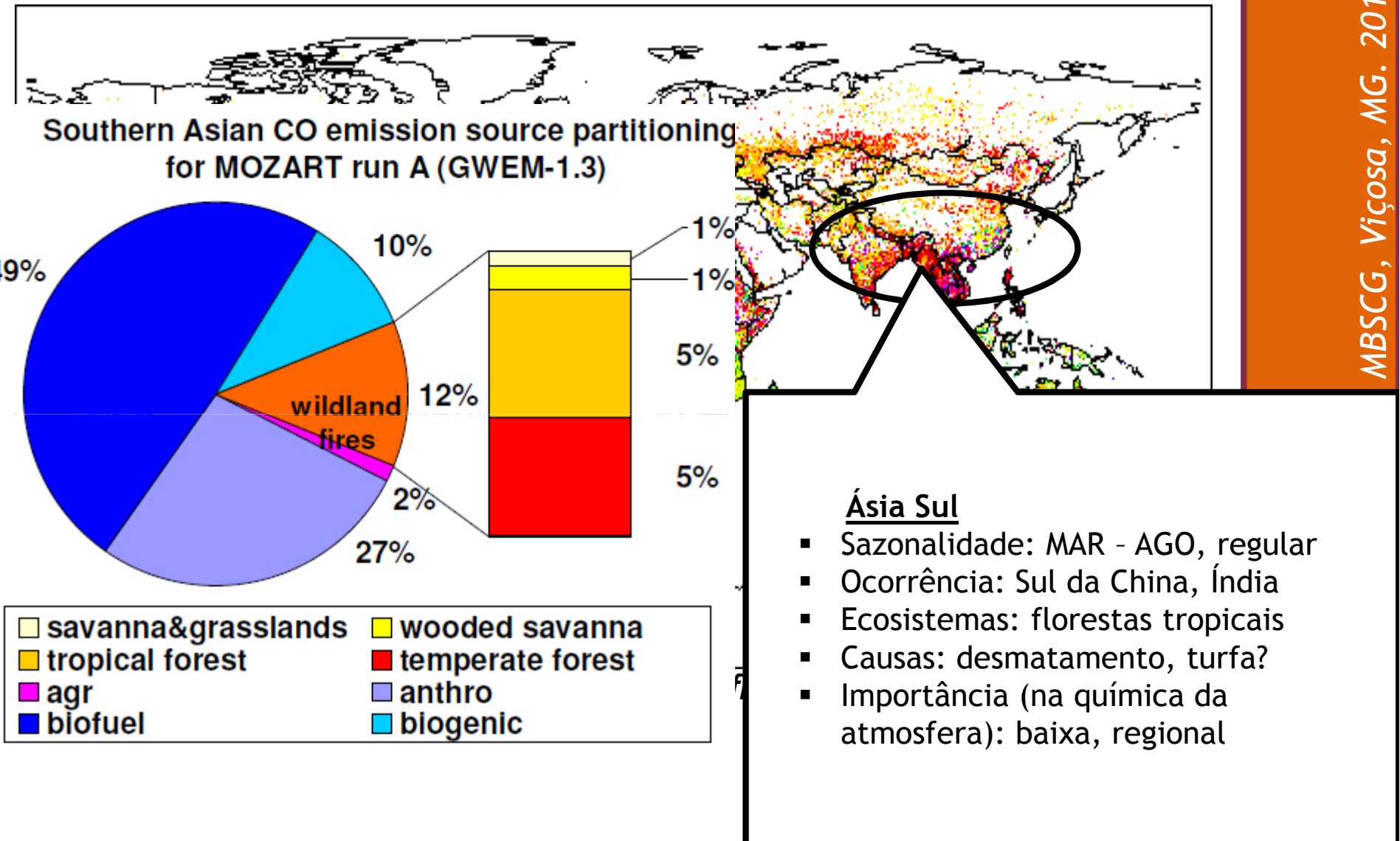
- Sazonalidade: norte: JUN - NOV, leste: SET - JAN centro/sul: SET - MAR
- Ocorrência: principalmente norte, todo lugar
- Ecosistemas: savannas, florestas tropicais
- Causas: accidental, intencional, self-ignition
- Importância (na química da atmosfera): alta, global

Australian CO emission source partitioning
for MOZART run A (GWEM-1.3)

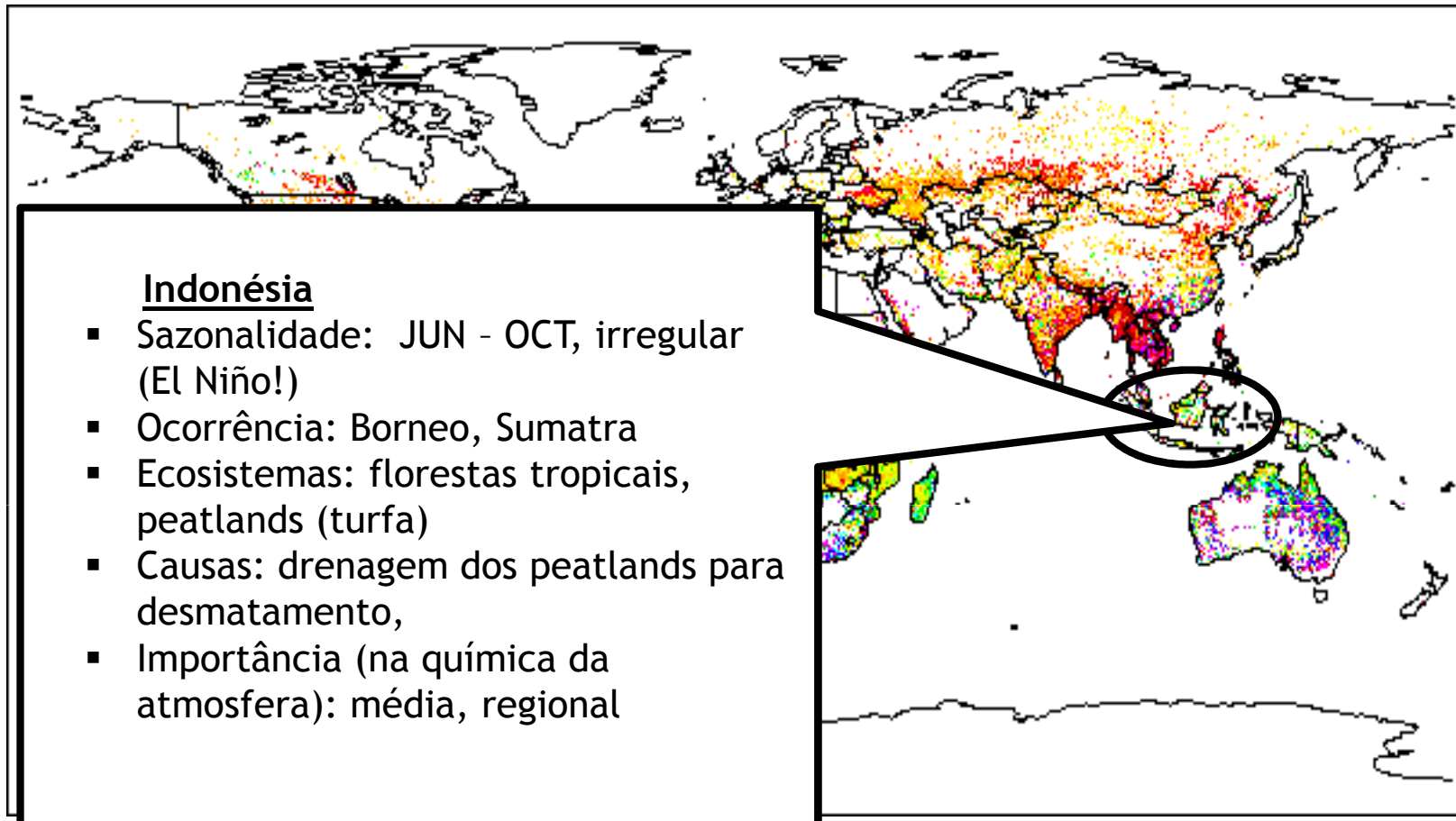


sions from April 1992 to March

EMISSÕES GLOBAIS DE FOGO



EMISSÕES GLOBAIS DE FOGO

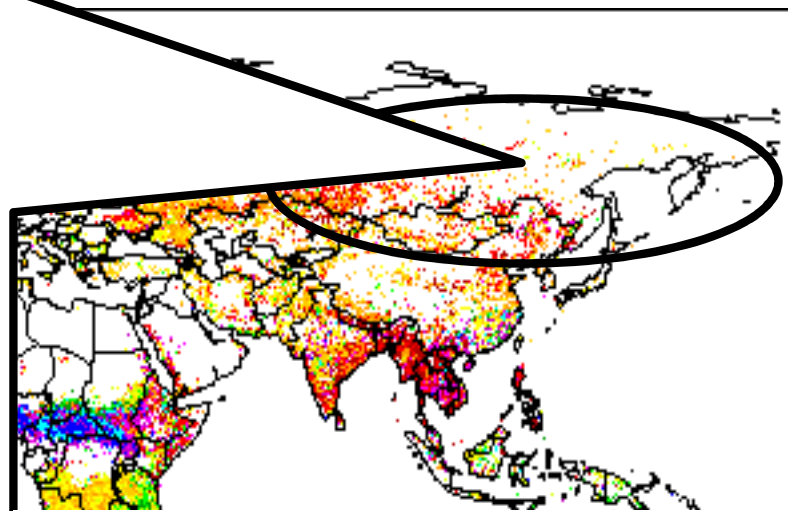


Monthly occurrence of global fire emissions from April 1992 to March 1993, source: Dwyer et al., 1999

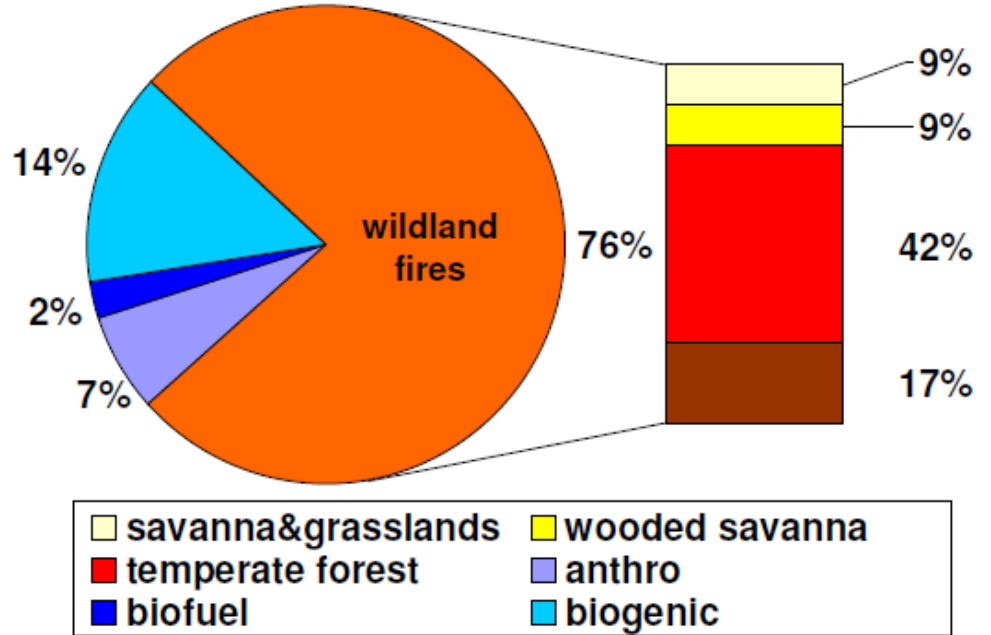
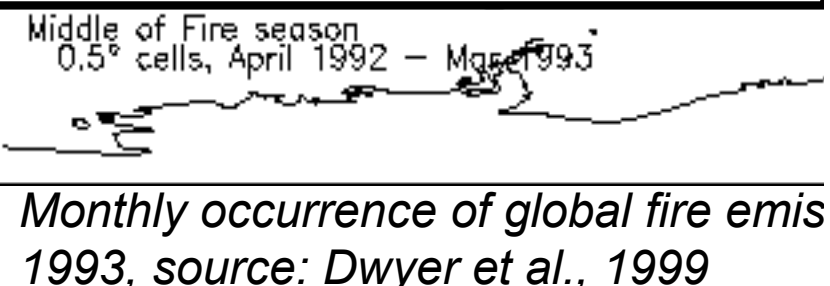
BAIS DE FOGO

Áisa Norte/Central

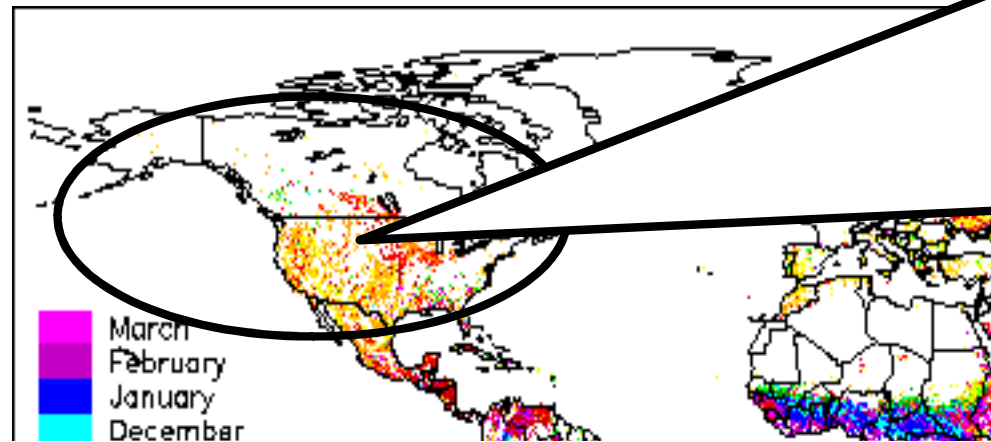
- Sazonalidade: ABR - SET
- Ciclo diurno: não
- Ocorrência: oeste central: resíduos agrícolas, campo limpo, centro/leste: peatlands (turfa), floresta temperada e boreal
- Ecosistemas: peatlands, grasslands, florestas temperadas e boreais
- Causas: muitas vezes desconhecida: natural, acidental, intencional
- Importância (na química da atmosfera): média, regional/global



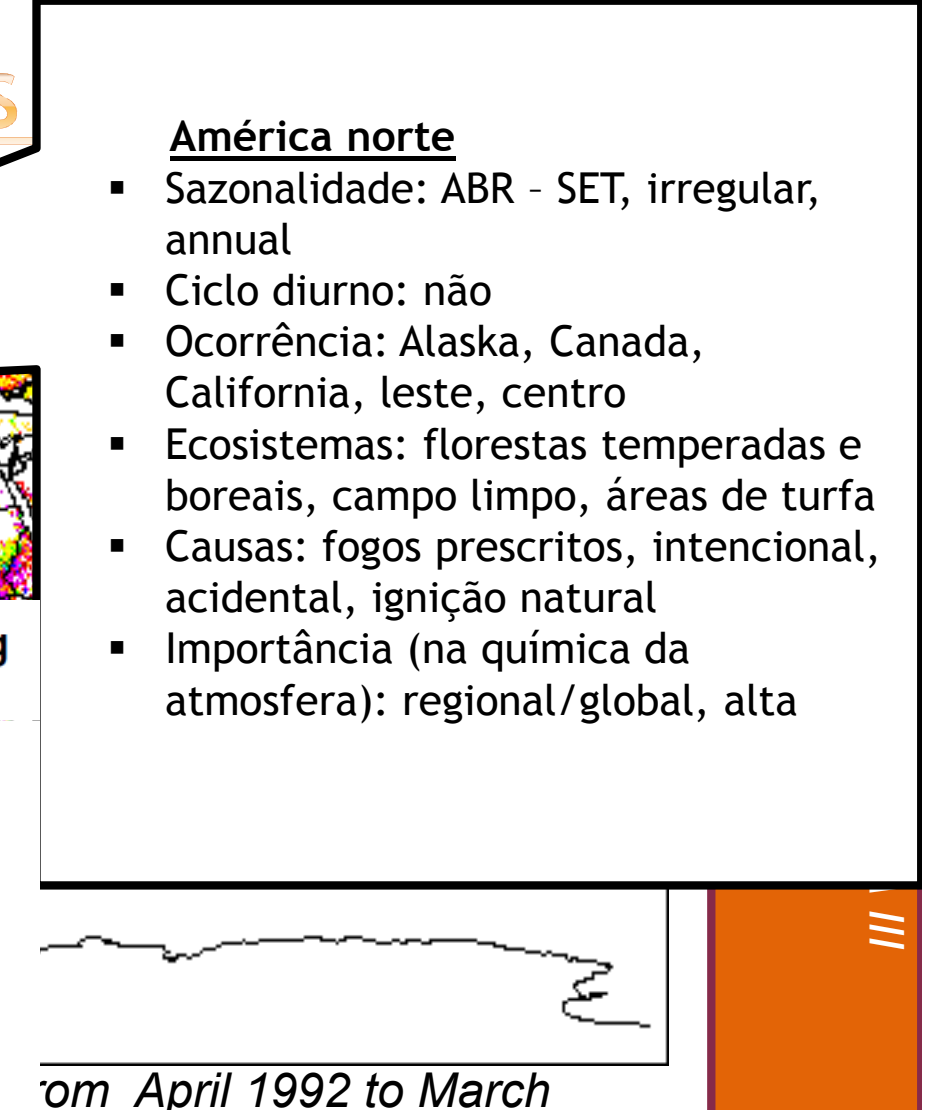
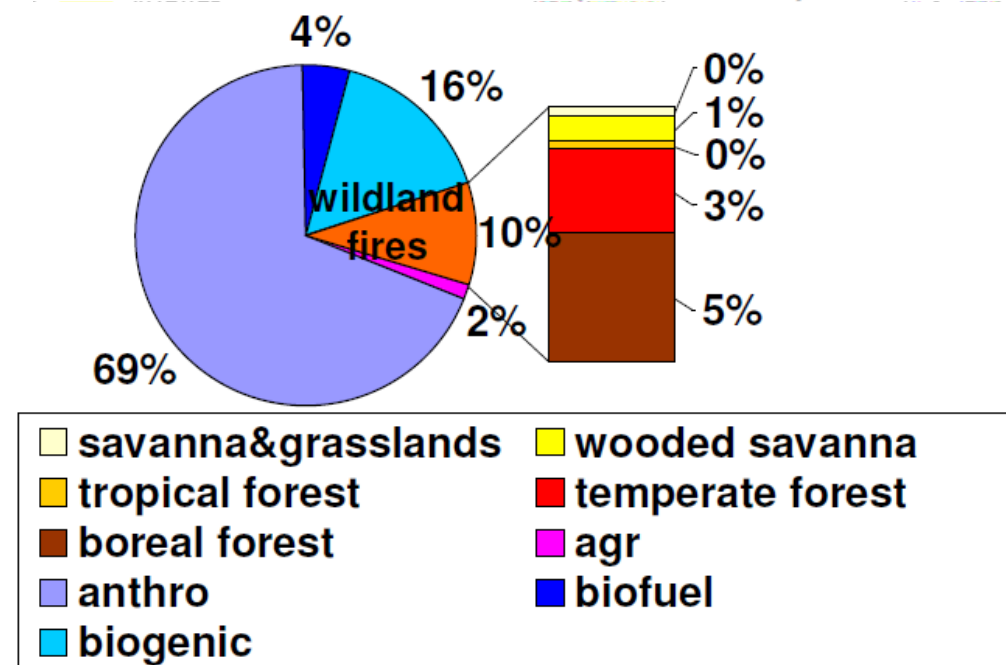
North Central Asian CO emission source partitioning
for MOZART run A (GWEM-1.3)



EMISSÕES GLOBAIS

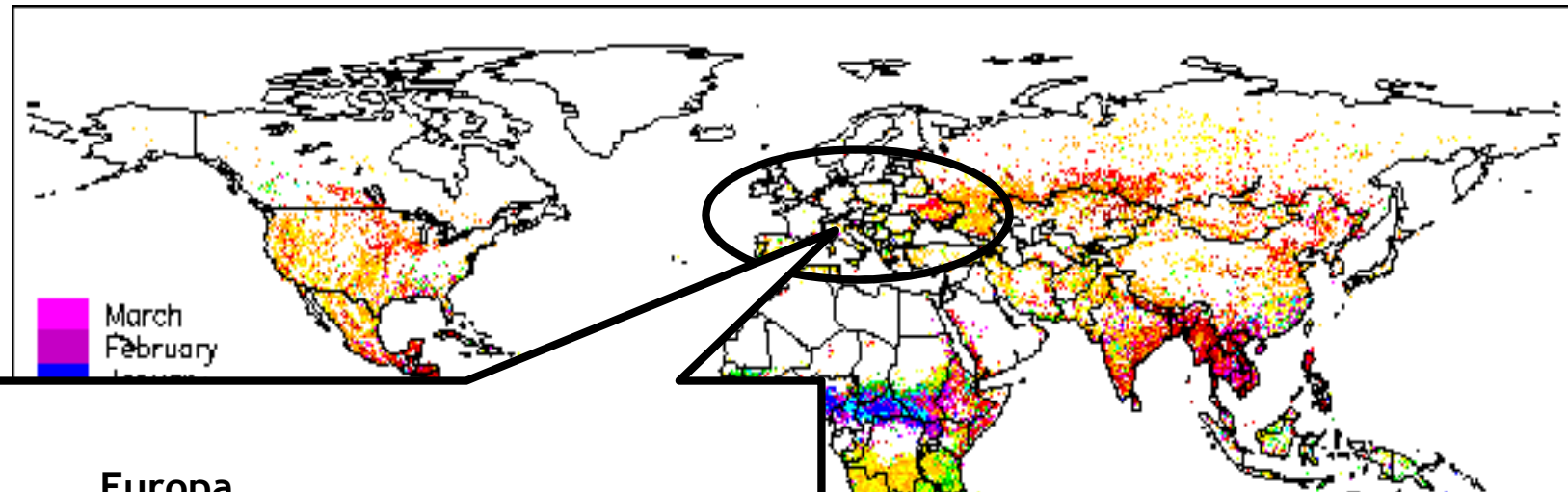


North American CO₂ emission source partitioning
for MOZART run A (GWEM-1.3)



EMISSÕES GLOBAIS DE FOGO

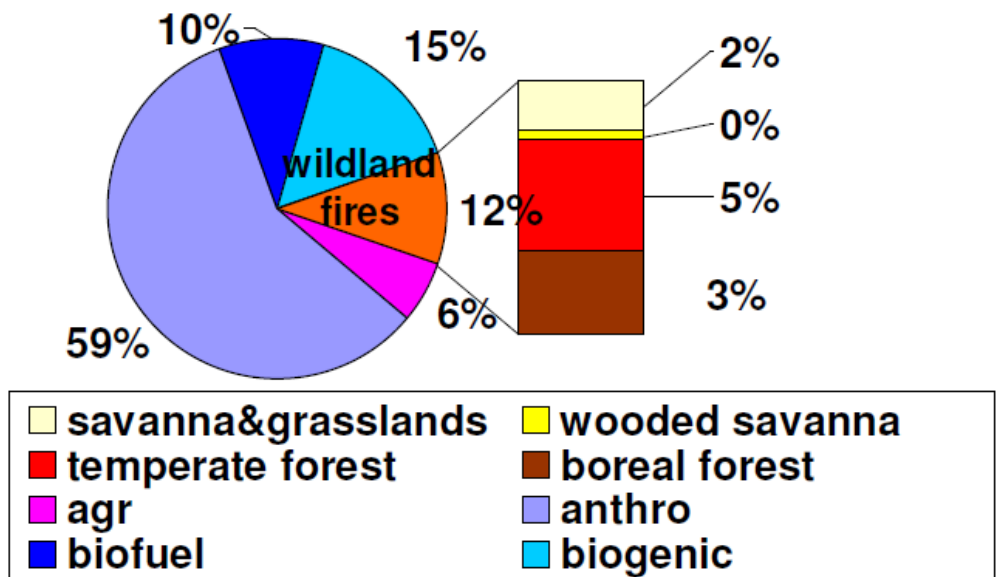
MBSCG, Viçosa, MG. 2010



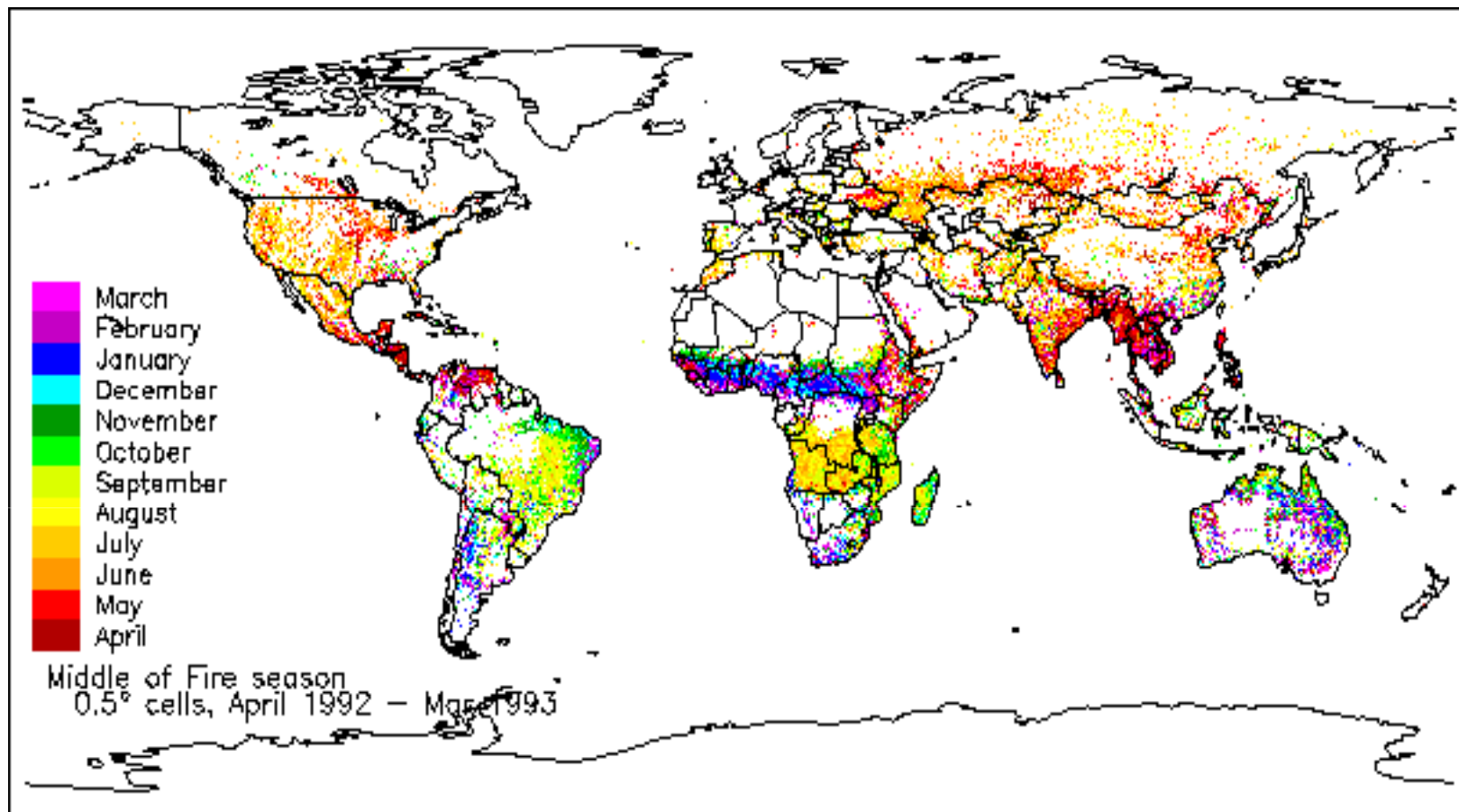
Europa

- Sazonalidade: ABR - SET, irregular, em anos secos
- Ciclo diurno: não
- Ocorrência: Sul da Europa: Portugal, Espanha, Sul de França, Itália, Grécia, Europa leste -> resíduos agrícolas
- Ecosistemas: floresta temperada, campo limpo
- Causas: incêndios intencionais, acidental
- Importância (na química da atmosfera): regional, média

European CO emission source partitioning
for MOZART run A (GWEM-1.3)



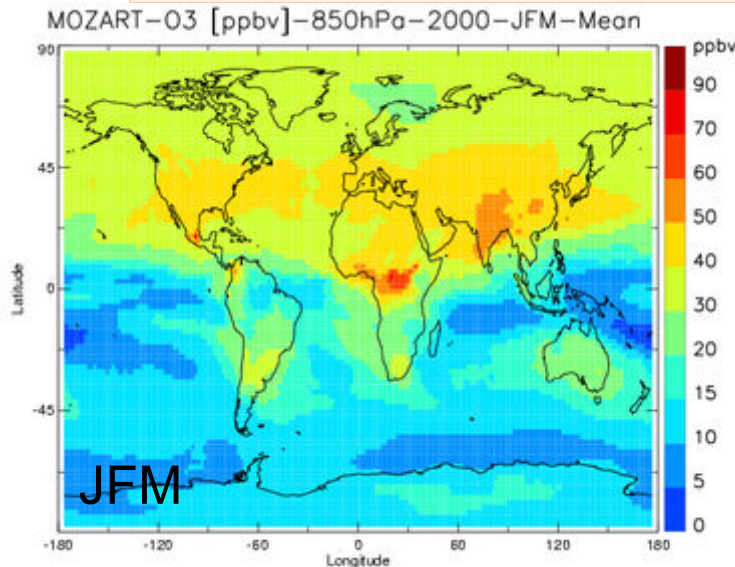
EMISSÕES GLOBAIS DE FOGO



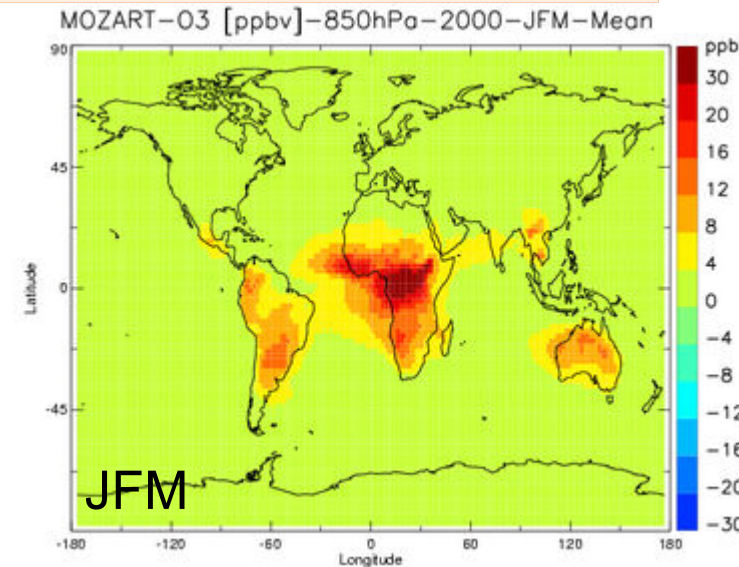
Monthly occurrence of global fire emissions from April 1992 to March 1993, source: Dwyer et al., 1999

Nova base de dados global consolidada de fatores de emissão e combustão, biomassa por região e ecosistema, mapeados, colaboração com Bob Yokelson , Univ. of Montana, EUA

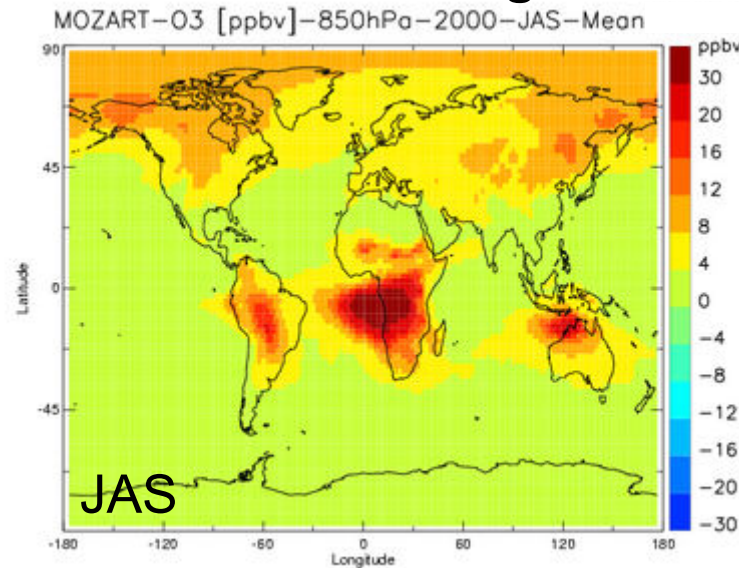
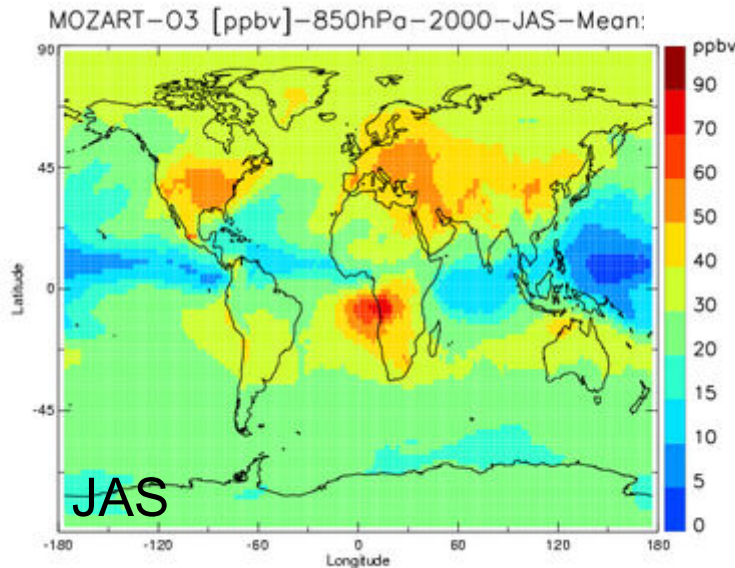
RESULTADOS MOZART-2: OZÔNIO GLOBAL SAZONAL



Concentração de Ozônio



Concentração de Ozônio
devido ao fogo



III Workshop MBSCG, Viçosa, MG. 2010



REGIONAL MOZART RESULTS COMPARED TO MOPITT CO

50 % de variabilidade no CO
→ ~50% variabilidade no aerossol
 → mudança significativa no
 balanço radiativo, ciclo de água
 → Mudança significativa da
 temperatura, precipitação
→ Importância de trabalhar com
 uma boa representação das
 emissões globais de fogo no
 MBSCG!



REFLEXÃO FINAL

Primeira versão do MBSCG em 3-4 anos

=> Precisamos pensar mais **global** para alcançar esta meta. Tanto em termos de bordas de modelo, como em termos de colaborações, sem as quais não será possível.